

中国图象图形学报

2020 **05** VOL.25

ISSN1006-8961 CN11-3758/TB

主办:中国科学院遥感与数字地球研究所中国图象图形学学会

北京应用物理与计算数学研究所



中国图象图形学报

刊名题字:宋健 月刊(1996年创刊)









中国精品科技期刊 中国国际影响力优秀学术期刊 中国科技核心期刊 中文核心期刊

版权声明

凡向《中国图象图形学报》投稿,均视 为同意在本刊网站及CNKI等全文数据 库出版,所刊载论文已获得著作权人的 授权。本刊所有图片均为非商业目的使 用,所有内容,未经许可,不得转载或

Copyright

All rights reserved by Journal of of Remote Sensing and Digital (including but not limited text, 主管单位 中国科学院

主办单位 中国科学院遥感与数字地球研究所

中国图象图形学学会

北京应用物理与计算数学研究所

编 顾行发

编辑出版《中国图象图形学报》编辑出版委员会

通信地址 北京市海淀区北四环西路19号

编 100190

电子信箱 jig@radi.ac.cn 话 010-58887035 由

址 www.cjig.cn

广告发布登记号 京朝工商广登字20170218号

总 发 行 北京报刊发行局

购 全国各地邮局

海外发行 中国国际图书贸易集团有限公司

(邮政信箱: 北京399信箱 邮编: 100048)

印刷装订 北京科信印刷有限公司

Journal of Image and Graphics

Title inscription: Song Jian

Monthly, Started in 1996

Superintended by Chinese Academy of Sciences

Sponsored by Institute of Remote Sensing and Digital Earth, CAS

China Society of Image and Graphics

Institute of Applied Physics and Computational Mathematics

Editor-in-Chief Gu Xingfa

Editor, Publisher Editorial and Publishing Board of Journal of

Image and Graphics

Address No. 19, North 4th Ring Road West, Haidian District,

Beijing, P. R. China

Zip code 100190 E-mail jig@radi.ac.cn Telephone 010-58887035 Website www.cjig.cn

Distributed by Beijing Bureau for Distribution of Newspapers and Journals

Domestic All Local Post Offices in China

Overseas China International Book Trading Corporation

(P.O.Box 399, Beijing 100048, P.R.China))

Printed by Beijing Kexin Printing Co., Ltd.

CN 11-3758/TB ISSN 1006-8961 **CODEN ZTTXFZ**

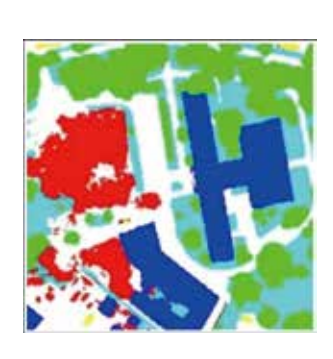
国外发行代号 M1406 国内邮发代号 82-831 国内定价 60.00元



多相图像分割Vese-Chan模型连续最大流方法(第0926页)



保持区域平滑的3维动画形状 高效编辑(第1019页)



树形结构卷积神经网络优化的城区遥感图像语义分割 (第1043页)

*	赵7	П	-
51	ᆸᄼ	וטע	777

多源空一谱遥感图像融合方法进展与挑战	
肖亮, 刘鹏飞, 李恒	0851
综述	
中国图像工程: 2019	
章毓晋	0864
图像处理和编码	
相同编码参数HEVC视频重压缩检测	
潘鹏飞,姚晔,王慧	0879
密集连接卷积网络图像去模糊	
吴迪,赵洪田,郑世宝 ·····	0890
密集网络图像哈希检索	
王亚鸽,康晓东,郭军,李博,张华丽,刘汉卿 ······	0900
图像分析和识别	
域自适应城市场景语义分割	
张桂梅,潘国峰,刘建新	0913
多相图像分割Vese-Chan模型连续最大流方法	
王洁,潘振宽,魏伟波,徐子森	0926
结合注意力机制和多属性分类的行人再识别	
郑鑫,林兰,叶茂,王丽,贺春林	0936
多分辨率特征注意力融合行人再识别	
沈庆,田畅,王家宝,焦珊珊,杜麟	0946
全卷积网络电线识别方法	
刘嘉玮,李元祥,龚政,刘心刚,周拥军	0956
双核压缩激活神经网络艺术图像分类	
杨秀芹,张华熊	0967
图像理解和计算机视觉	
高效检测复杂场景的快速金字塔网络SPNet	
李鑫泽,张轩雄,陈胜	0977
结合自底向上注意力机制和记忆网络的视觉问答模型	
闫茹玉,刘学亮	0993
统筹图像变换与缝合线生成的无参数影像拼接	
高炯笠,吴军,刘祺昌,徐刚	1007
计模机图形 类	
计算机图形学 (2) 15 15 15 15 15 15 15 15 15 15 15 15 15	
保持区域平滑的3维动画形状高效编辑	
冼楚华,杨煜,黄俊贤,李桂清	1019
医学图像处理	
肌骨超声图像特征检测及拼接 颜焕欢,张培镇,王伊侬,李璇,阳维,王青 ····································	4000
财厌XX,抗培镇,土铲1X,字城,阳连,土有 ····································	1032
遥感图像处理	
树形结构卷积神经网络优化的城区遥感图像语义分割	
例形结构卷帜仲经网络优化的城区连感图像语义分割 胡伟,高博川,黄振航,李瑞瑞 ···································	1042
朝伟,高博川,黄旅航,李琉琉 融合累积变异比和集成超限学习机的高光谱图像分类	1043
一种	1050
尹玉泮,姊怀,刈刀牛 ************************************	1053

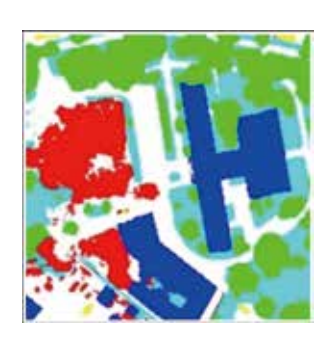
CONTENTSJOURNAL OF IMAGE AND GRAPHICS



Continuous max-flow method for multiphase segmentation Vese-Chan model(P0926)



Efficient 3D animation shape manipulation with region smoothness preservation(P1019)



Semantic segmentation of urban remote sensing image based on optimized tree structure convolutional neural network (P1043)

sification

Scholar View

Progress and challenges in the fusion of multisource spatial-spectral remote sensing images
Xiao Liang, Liu Pengfei, Li Heng ····································
Deview
Review
Image engineering in China: 2019
Zhang Yujin
Image Processing and Coding
Detection of double compression for HEVC videos with the same coding parameters
Pan Pengfei, Yao Ye, Wang Hui
Motion deblurring method based on DenseNets
Wu Di, Zhao Hongtian, Zheng Shibao
Image Hash retrieval with DenseNet
Wang Yage, Kang Xiaodong, Guo Jun, Li bo, Zhang Huali, Liu Hanqing0900
Image Analysis and Becognition
Image Analysis and Recognition
Domain adaptation for semantic segmentation based on adaption learning rate Zhang Guimei, Pan Guofeng, Liu Jianxin
Continuous max-flow method for multiphase segmentation Vese-Chan model Wang Jie, Pan Zhenkuan, Wei Weibo, Xu Zisen
Improving person re-identification by attention and multi-attributes
Zheng Xin, Lin Lan, Ye Mao, Wang Li, He Chunlin
Multi-resolution feature attention fusion method for person re-identification
Shen Qing, Tian Chang, Wang Jiabao, Jiao Shanshan, Du Lin
Power line recognition method via fully convolutional network
Liu Jiawei, Li Yuanxiang, Gong Zheng, Liu Xingang, Zhou Yongjun
Art image classification with double kernel squeeze-and-excitation neural network
Yang Xiuqin, Zhang Huaxiong
Image Understanding and Computer Vision
Snap Pyramid Network: Real-time complex scene detecting system
Li Xinze, Zhang Xuanxiong, Chen Sheng ··········0977
Visual question answering model based on bottom-up attention and memory network
Yan Ruyu, Liu Xueliang0993
Stitching of parametric-free images based on coordinated image transformation and seam-line ge-
neration
Gao Jiongli, Wu Jun, Liu Qichang, Xu Gang
Computer Graphics
Efficient 3D animation shape manipulation with region smoothness preservation
Xian Chuhua, Yang Yu, Huang Junxian, Li Guiqing1019
Medical Image Processing
Feature detection algorithm of musculoskeletal ultrasound image and its application of image stit-
ching
Yan Huanhuan, Zhang Peizhen, Wang Yinong, Li Xuan, Yang Wei, Wang Qing1032
Remote Sensing Image Processing
Semantic segmentation of urban remote sensing image based on optimized tree structure convolu-
tional neural network
Hu Wei, Gao Bochuan, Huang Zhenhang, Li Ruirui1043
Ensemble extreme learning machine with cumulative variation quotient for hyperspectral image clas-

"中国图像工程:2019"统计的文献(共761篇)分类一览

章毓晋

清华大学电子工程系,北京 100084

所统计文献共分为5大类,23小类(见正文表1)。同小类中的文献按作者姓名之拼音排序,同拼音者按音调排序,同音调者再按笔划排序;作者全同按文献名之拼音排序。

为节省篇幅,作者多于三人的仅列前三人(后加"等"字),刊名采用了"中国图像工程:2019"中的缩写代号(见下面附表 A),发表年份(2019)均省略。

附表 A:所选期刊名称和代号表

Table A: Selected journals and their abbreviations

Table A: Selected journals and their abbreviations		
序号	代号	期刊名称
1	[CT]	《CT 理论与应用研究》
2	[CX]	《测绘学报》
3	[DC]	《电子测量与仪器学报》
4	$[\ \mathrm{DX}\]$	《电子学报》
5	[DxX]	《电子与信息学报》
6	[JX]	《计算机学报》
7	[MR]	《模式识别与人工智能》
8	[SC]	《数据采集与处理》
9	[TX]	《通信学报》
10	[XC]	《信号处理》
11	$[\ YX\]$	《遥感学报》
12	[ZS]	《中国生物医学工程学报》
13	[ZTi]	《中国体视学与图像分析》
14	[ZTu]	《中国图象图形学报》
15	[ZX]	《自动化学报》

A:图像处理(共165篇)

A1:图像获取(44篇)

- 曹非,郑素赢,赵生妹,郑宝玉。正交散斑鬼成像。XC, 35(5):781-785
- 谌德荣,吕海波,李秋富,宫久路,厉智强,韩肖君。分块 压缩感知的全变差正则化重构算法。DxX,41(9):2217
 -2223
- 戴超,杨春玲,郑钊彪。视频压缩感知中分级多假设预测算法。ZTu,24(3):357-365

- 丁泽刚,刘旻昆,王岩,李根,凌豪,李喆,曾涛,龙腾。基于压缩感知的地基 MIMOSAR 近场层析成像研究。XC, 35(5);729-740
- 杜欣, 黄平平, 徐伟, 谭维贤, 高志奇, 张振华。基于斜距高阶近似的弧形阵列 SAR 成像方法。XC, 35(5):809-815
- 范军,李涛,左小清,陈乾福,张祥,禄競。利用参数独立 分解的星载 SAR 干涉测量检校方法。CX,48(6):737 -746
- 胡健,罗迎,张群,康乐,何其芳。空间旋转目标窄带雷 达干涉式三维成像与微动特征提取。DxX,41(2):270
 -277
- 胡长雨,汪玲,朱栋强。结合字典学习技术的 ISAR 稀疏 成像方法。DxX,41(7):1735 - 1742
- 黄明益,吴军。理想投影椭圆约束下的鱼眼镜头内部参数标定。ZTu,24(11):1972-1984
- 黄增树,孙进平,谭维贤,黄平平,乞耀龙。弧形阵列 3D-SAR 成像处理算法研究。XC,35(4):523-530
- 季顺平,秦梓杰。多镜头组合式相机的全景 SLAM。 CX,48(10):1254-1265
- 江盟,刘舟,余磊。低维流形约束下的事件相机去噪算法。XC,35(10):1753-1761
- 李婵,宋焕生,武非凡,王伟,王璇。高速公路云台相机的自动标定。ZTu,24(8);1391-1399
- 李宁,别博文,邢孟道,孙光才。基于多普勒重采样的恒加速度大斜视 SAR 成像算法。DxX,41(12):2873-2880
- 李瑞,张群,苏令华,梁佳,罗迎。基于稀疏贝叶斯学习的双基雷达关联成像。DxX,41(12):2865-2872
- 李婷婷,黄平平,徐伟,谭维贤,董亦凡,洪文。一种两维 稀疏的3D-SAR成像方法。XC,35(5):850-859
- 李豫东,文林,黄建余,文延,张科科,郭旗。空间碎片探测卫星成像 CCD 的在轨辐射效应分析。YX,23(1):
- 李泽,汪玲,胡长雨。融合深度学习和凸优化迭代求解 策略的逆合成孔径雷达成像方法。ZTu,24(11):2045
- 练秋生,富利鹏,陈书贞,石保顺。基于多尺度残差网络的压缩感知重构算法。ZX,45(11):2082-2091
- 林赟,宋扬,王彦平,李洋。旋转扫描地基 SAR 大视场 快速成像算法。XC,35(3);499-506

• 刘志敏,贾维嘉,王国军。视觉传感器网络边界部署 k

- 覆盖数量估计。JX,42(2):309-322

- 梅红艳,田卫明,胡程,龙腾。地基 MIMO 雷达快速成像 算法研究。XC,35(6):1088 - 1096
- 孟智超,卢景月,谢朋飞,张磊,王虹现。无人机载多普勒分集前视合成孔径雷达成像方法。DxX,41(12): 2852-2858
- 潘雪琛,姜挺,余岸竹,王鑫,张一。基准影像数据辅助 遥感影像几何定位。YX,23(4):673-684
- 皮英冬,谢宝蓉,杨博,张昳玲,李欣,王密。利用稀少控制点的线阵推扫式光学卫星在轨几何定标方法。CX,48(2):216-225
- 邵帅,张磊,刘宏伟。一种基于图像最大对比度的联合 ISAR 方位定标和相位自聚焦算法。DxX,41(4):779
- 史林,郭宝锋,马俊涛,尚朝轩,解辉,曾慧燕。基于图像 旋转相关的空间目标 ISAR 等效旋转中心估计算法。 DxX,41(6):1280-1286
- 汪海波,黄文华,巴涛,姜悦。短脉冲非相参雷达的逆合成孔径成像及其稀疏恢复成像技术。DxX,41(11): 2646-2653
- 王超,王岩飞,王琦,詹学丽。基于回波序列最小二乘拟合的高分辨率 SAR 运动目标速度估计。DxX,41(5): 1055-1062
- 王伟,胡子英,龚琳舒。MIMO 雷达三维成像自适应 Off grid 校正方法。DxX,41(6):1294 1301
- 王伟,胡子英,岳佳男。高效的 MIMO 雷达运动目标三 维成像方法。TX,40(7):38-47
- 王旭东,张迪,闫贺。基于 Relax 算法的星载高分宽幅成像方法研究。DxX,41(5):1077-1083
- 温育涵,卫扬铠,范宇杰,陈新亮,丁泽刚,曾涛,龙腾。
 多基地 SAR 线目标参数反演与图像重建。XC,35(6):
 1025-1033
- 吴元。一种基于参数更新的机载 SAR 图像目标定位方法。DxX,41(5):1063-1068
- 熊娣,王俊岭,赵莉芝,钟山,高梅国。基于酉 ESPRIT 的 多频带融合 ISAR 成像。DxX,41(2):285-292
- 杨磊,李慧娟,李埔丞,方澄。基于贪婪-快速阈值迭代的 SAR 地面动目标稀疏表征算法。XC,35(11):1844-1852
- 杨磊,李埔丞,李慧娟,方澄。稳健高效通用 SAR 图像 稀疏特征增强算法。DxX,41(12):2826-2835
- 杨利超,邢孟道,孙光才,王安乐,盛佳恋。一种微波光 子雷达 ISAR 成像新方法。DxX,41(6):1271 - 1279
- 于鲲,丛明煜,段佳佳,刘礼城,郭彪。空间目标导航相 机数字成像模拟源设计与实现。DC,33(9):41-49
- 张爱丽,刘浩,武林,牛立杰,张成,陈雪,吴季。G矩阵 修正法在一维综合孔径微波辐射计成像中的应用。 DxX,41(11):2632-2638
- 张过,蒋永华,李立涛,邓明军,赵瑞山。高分辨率光学/

- SAR 卫星几何辐射定标研究进展。CX,48(12):1604-1623
- 张建辉,陈宁波,王柏权,刘成波,龚小竞。光声显微成像技术的研究进展。SC,34(5):771-788
- 赵辉,张静,张乐,刘莹莉,张天骐。基于非局部低秩和加权全变分的图像压缩感知重构算法。DxX,41(8): 2025-2032
- 邹强,黄建平,刘定进,魏巍,郭旭。基于最小二乘逆时 偏移的场声反射成像测井模拟。CT,28(1):13 - 28

A2:图像重建(16篇)

- 陈轩昂,张拾,李智勇,吴迪,汪成咏,吴发恩,陈立成。
 物理模型超声 CT 图像代数法重建和结构识别。CT,28
 (2):195-204
- 陈云斌,王远,李寿涛。工业 CT 转台单侧多次偏置的 扇束扫描重建算法。ZTi,24(4):380-388
- 方伟, 李亮, 陈志强。神经网络在 CT 重建方面应用的 最新进展。ZTi, 24(1):16-28
- 何甜,陕天澍,孔德会,王雅坤,汪成咏,吴发恩,陈立成。 代数重建法物理模型超声波图像重建。CT,28(3):311
 -321
- 贾淑梅,郑钧正,张丽,高河伟,邢宇翔。口腔锥形束 CT 剂量评估模式的研究现状。CT,28(1):1-11
- 蒋明峰, 陆亮, 吴龙, 徐文龙, 汪亚明。基于加权 Schattenp 范数最小化的磁共振图像重构方法研究。DX, 47 (4):784-790
- 李章勇,刘兆宇,冉鹏,相尚志,马成群,王伟。胃区3层 EIT模型构建和仿真。ZS,38(5):590-598
- 梁宁宁,李子恒,王林元,蔡爱龙,李磊,闫镇。一种基于 GAN 网络投影补全的有限角度 CT 重建算法。ZTi,24 (1):1-8
- 刘进,赵倩隆,尹相瑞,顾云波,康季槐,陈阳。基于特征 学习的低剂量 CT 成像算法研究进展。CT,28(3):393 -406
- 彭亚辉,曹旭阳,陈后金,李艳凤,李居朋,王贤刚。三结构各向同性包覆燃料颗粒相衬CT图像的噪声和伪像抑制方法初探。DX,47(2):448-453
- 王琦,陈晓静,汪剑鸣,李秀艳,段晓杰,王化祥。基于人体结构先验信息的胸部电阻抗成像方法。ZS,38(1): 35-43
- 王伟新,张秋奂,郭鹏德,何飞飞,刘明,李杰,陈正光。 能谱 CT 单能量结合 ASiR 技术对腹部静脉成像质量的 优化研究。CT,28(1):61-72
- 肖文,曾理。CT图像的金属伪影校正方法综述。ZTi, 24(1):29-37
- 张静,李宏磊,张婷,卜玉莲,陈晓炎,房炜桓,徐敬慈,潘自来,陈克敏,李卫侠,邵丹丹,林晓珠,严福华。能谱CT多参数成像在胰岛素瘤定位中的比较研究。CT,28
 (4):471-476
- ▶ 赵世龙,李晓南,刘国强,胡丽丽,陈海燕。永磁体磁共

Ш

- 振电特性成像方法研究。ZS,38(3):375-379
- 朱凯然,王波,武晓朦,高建申。原位岩土 CT 及其关键 技术探讨。CT,28(6):641-652

A3: 图像增强/恢复(62 篇)

- 白雪,张艳宁,朱宇,孙瑾秋。基于核估计迭代结构保持的图像盲复原方法。ZTi,24(4):314-324
- 曹丽琴,商永星,刘婷婷,李治江,马爱龙。局部自适应的灰度图像彩色化。ZTu,24(8):1249-1257
- 柴雄力,邵枫,姜求平,蒋刚毅。基于网格形变的立体图像内容重组。ZTu,24(3):334-345
- 陈家益,战荫伟,曹会英,董梦艺。消除椒盐噪声的基于 纹理特征的决策滤波。DC,33(3):126-135
- 陈书贞,张祎俊,练秋生。基于多尺度稠密残差网络的 JPEG 压缩伪迹去除方法。DxX,41(10):2479 - 2486
- 陈扬,李旦,张建秋。互补色小波域图像质量盲评价方法。DX,47(4):775-783
- 戴声奎,钟峥,黄正暐。基于最大熵模型的双直方图均 衡算法。DX,47(3):678-685
- 董道广, 芮国胜, 田文飚, 康健, 刘歌。基于结构相似性的非参数贝叶斯字典学习算法。TX, 40(1):43-50
- 董辉,张斌。基于显著图的可变模板形态学去雾方法。
 ZX,45(5):877-887
- 高成英,徐仙儿,罗燕娟,王栋。基于稀疏表示的物体图像修复。JX,42(9):1953-1965
- 郝红星,吴玲达,宋晓瑞。一种基于分组稀疏编码的复数图像降噪算法。JX,42(9):1991-2003
- 华森,张晓鹏,徐士彪。基于二阶段生成对抗网络的人 眼编辑。ZTi,24(4):306-313
- 黄果,许黎,陈庆利,蒲亦非。非局部多尺度分数阶微分 图像增强算法研究。DxX,41(12):2972 - 2979
- 黄鐄,陶海军,王海峰。条件生成对抗网络的低照度图像增强方法。ZTu,24(12):2149-2158
- 黄涛,曹力,刘晓平。保特征的联合滤波网格去噪算法。
 ZTu,24(8):1292-1301
- 霍其润,李建武,陆耀,秦明。基于变分的 CT 图像环形 伪影校正。ZX,45(9):1713-1726
- 贾惠珍,王同罕,傅鹏。多特征融合的图像质量评价方法。MR,32(7):669-675
- 贾慧迪,韩志,陈希爱,唐延东。基于非局部张量火车分解的彩色图像修补。MR,32(10):955-963
- 姜侯,吕宁。单幅光学遥感影像去霾算法及评价综述。 ZTu,24(9):1416-1433
- 姜维,王学春,杨勇。基于结构特征先验与多尺度反锐 化掩模机制的红外图像增强算法。DC,33(4):1-9
- 李国庆,赵洋,刘青萌,殷翔宇,王业南。多层感知分解的全参考图像质量评估。ZTu,24(1):149-158
- 李雪瑾,李昕,徐艳杰。基于生成对抗网络的数字图像 修复技术。DC,33(1):40-46
- 李喆,李建增,胡永江,张岩。混合先验与加权引导滤波

- 的图像去雾算法。ZTu,24(2):170-179
- 李忠海,宋笑宇,陈灿灿,王崇瑶。基于 Retinex 算法的 亮度分层图像增强算法。SC,34(1):41-49
- 梁晓萍,郭振军,朱昌洪。基于头脑风暴优化算法的BP神经网络模糊图像复原。DxX,41(12):2980-2986
- 林向伟,曾焕强,侯进辉,朱建清,蔡灿辉。基于多细节 卷积神经网络的单幅图像去雨方法。XC,35(3):460
- 刘畅,谢凤英。基于雾先验特征的雾区检测。ZTi,24
 (4):334-341
- 刘浩,孙晓帆,张鑫生,吴乐明,况奇刚。面向图像集的 置信区间内一致性增强质量评价准则。DxX,41(1): 219-225
- 刘静,刘涵,黄开宇,苏立玉。基于自动秩估计的黎曼优 化矩阵补全算法及其在图像补全中的应用。DxX,41 (11):2787-2794
- 刘万军,白宛司,曲海成,赵庆国。融合 GF MSRCR 和 暗通道先验的图像去雾。ZTu,24(11):1893 - 1905
- 楼幸欣,唐向宏,张越。相似匹配块组的稀疏表示图像
 修复。ZTu,24(7):1055-1066
- 路志英,周庆霞,李鑫。基于改进 Criminisi 算法的地基 云图修复方法。SC,34(1):12-21
- 罗洪艳,朱子岩,林睿,林臻,廖彦剑。基于掩盖效应和梯度信息的无参考噪声图像质量评价改进算法。DxX,41(1);210-218
- 马晓双,吴鹏海。全极化雷达遥感影像的迭代优化非局部均值去噪法。CX,48(8):1038-1045
- 强振平,何丽波,陈旭,徐丹。深度学习图像修复方法综述。ZTu,24(3):447-463
- 邱枫,侯飞,袁野,王文成。加强边缘感知的盲去模糊算法。ZTu,24(6):847-858
- 宋佳怡,谢维信,王鑫。融合暗通道滤波和空间金字塔 的图像去雾算法。XC,35(5):816-824
- 苏雅茹,刘耿耿,刘文犀,朱丹红。基于 l_p 范数的非凸 低秩张量最小化。MR,32(6);494 - 503
- 汤成,许建龙,周志光。改进的曲率滤波强噪声图像去噪方法。ZTu,24(3):346-356
- 田建东,刘连庆。复杂气象条件下的机器人视觉。MR, 32(1):24-35
- 王昶,张永生,王旭,纪松。遥感影像条带噪声去除的小波变分法。CX,48(8):1025-1037
- 肖进胜,王文,邹文涛,童乐,雷俊锋。基于景深和稀疏 编码的图像去雨算法。JX,42(9):2024-2034
- 肖进胜,周景龙,雷俊锋,刘恩雨,舒成。基于霾层学习的单幅图像去雾算法。DX,47(10):2142-2148
- 谢凤英,汤萌,张蕊。基于 Retinex 的图像增强方法综 述。SC,34(1):1-11
- 徐倩,钱沄涛。基于双向光流估计的高动态范围图像去模糊。ZTi,24(4):342-351
- 徐少平,李崇禧,林官喜,唐玲,胡凌燕。基于主成分分

- 析与深度神经网络的快速噪声水平估计算法。DX,47(2):274-281
- 徐少平,林珍玉,李崇禧,刘婷云,杨晓辉。采用训练策略实现的快速噪声水平估计。ZTu,24(11):1882-1892
- 徐少平,刘婷云,林珍玉,张贵珍,李崇禧。深度卷积神经网络降噪模型的技术瓶颈与研究展望。ZTu,24(8): 1207-1214
- 徐少平,刘婷云,罗洁,张贵珍,李崇禧。一种非开关型 快速随机脉冲噪声降噪算法。DX,47(12):2622 - 2629
- 徐少平,张贵珍,李崇禧,刘婷云,唐祎玲。基于深度置信网络的随机脉冲噪声快速检测算法。DxX,41(5): 1130-1136
- 杨佳丽,来林静,张磊,黄华。李群流形上的在线视频稳 像算法。MR,32(4):298-305
- 杨洁,周洋,谢菲,张旭光。采用自适应梯度稀疏模型的 图像去模糊算法。ZTu,24(2):180-191
- 杨平,赵燕伟,郑建炜,王万良。图像组转置训练及非凸约束的去噪去模糊算法。MR,32(10):917-926
- 杨润宇,贾亦雄,徐鹏,谢晓振。截断核范数和全变差正则化高光谱图像复原。ZTu,24(10):1801-1812
- 于海雯,易昕炜,徐少平,张贵珍,刘婷云。两阶段多层 感知的随机脉冲噪声比例预测。ZTu,24(7):1042
- 张桂梅,李艳兵。结合纹理结构的分数阶 TV 模型的图像修复。ZTu,24(5):700-713
- 张红英,朱恩弘,吴亚东。一种基于细节层分离的单曝光 HDR 图像生成算法。ZX,45(11):2159-2170
- 张慧利,周湘贞。基于尺度信息边缘提取的模糊核估计方法。DC,33(5):65-72
- 张艳,张明路,蒋志宏,吕晓玲。基于改进的 LIP 算法低照度图像增强算法。DC,33(11):147-154
- 张玉倩,高方远,王楠楠。基于深度概率图模型的鲁棒 人脸画像合成。MR,32(9):855-866
- 赵跃进,刘文龙,刘明,董立泉,惠梅。双向时域特征流 盲去运动模糊方法。SC,34(1):32-40
- 仲红玉,尹丽菊,胡浩东,王炫,寇廷栋,潘金凤,蔡富东。
 一种改进区域能量融合规则的光子计数图像增强算法。
 SC,34(1):111-121

A4:图像/视频压缩编码(8篇)

- 丁佳军,陈婧,曾焕强,朱建清,蔡灿辉。结合时空梯度 感知特征的 HEVC - SCC 码率控制算法。XC,35(3):
- 刘宇洋,朱策,郭红伟。光场数据压缩研究综述。ZTu, 24(11):1842-1859
- 罗瑜,张珍珍。一种方向插值预测变长编码的帧存有损 压缩算法。DxX,41(10):2495-2500
- 马晓辉,曾焕强,陈婧,朱建清,蔡灿辉。基于多视点伪 序列的光场图像压缩。XC,35(3):378-385
- 任妍,彭宗举,崔鑫,陈芬,陈华。结合随机森林的 FVC

- 帧内编码单元快速划分。ZTu,24(5):724-733
- 信睿,艾廷华。Gosper 曲线支持的正六边形栅格数据游程编码及高效压缩。CX,48(2):226-237
- 赵利平,林涛,郭靖,周开伦。基于通用串预测算法的 AVS2 屏幕混合内容帧间编码优化。JX,42(10):2190 -2202
- 赵利平,周开伦,林涛,郭靖。通用串预测算法及在 AVS2 屏幕与混合内容视频编码中的应用。JX,42(9): 2100-2113

A5: 图像信息安全(24篇)

- 毕秀丽,魏杨,肖斌,李伟生,马建峰。基于级联卷积神经网络的图像篡改检测算法。DxX,41(12):2987-2994
- 陈艳浩,刘中艳,周丽宴。基于差异混合掩码与混沌 Gyrator 变换的光学图像加密算法。DxX,41(4):888 -895
- 陈怡,李智,张健,王国美。弥散加权图像的鲁棒水印算 法研究。ZTu,24(9):1434-1449
- 程宁,王茜娟。基于混沌 Gyrator 变换与矩阵分解的光 学图像加密算法。DC,33(1):191-202
- 房礼国,付正欣,胡浩,沈刚,郁滨。基于区域递增式彩色视觉密码的栅格地图多级分存算法研究。TX,40
 (9):24-32
- 冯小青,李黎,王继林,董克明,刘亚楠,严素蓉。3D 打印模型版权保护技术研究进展。ZTu,24(7):1028-1041
- 李凤华,孙哲,牛犇,曹进,李晖。跨社交网络的隐私图 片分享框架。TX,40(7):1-13
- 李国利,邵利平,任平安。差异聚类和误差纹理合成的 生成式信息隐藏。ZTu,24(12):2126-2148
- 梁锡坤,陶利民,胡斌。一类广义混沌映射和矩阵非线性变换的图像混合加密。ZTu,24(3):325-333
- 卢淑萍,肖随贵。基于曲率度量耦合仿射制约策略的图像复制-粘贴篡改检测算法。DC,33(9):129-136
- 马利民,王佳慧。基于改进 FEMD 算法的可逆秘密图像 共享方案。TX,40(7):48-56
- 任帅,王震,苏东旭,张弢,慕德俊。基于三维模型贴图 与结构数据的信息隐藏算法。TX,40(5):211-222
- 邵利平,乐志芳。多版本备份和限制性双重认证主密钥 (*t*,*s*,*k*,*n*)图像分存。DX,47(2);390-403
- 汤光明,姜明明,孙艺。失真代价动态更新的自适应彩 色图像隐写算法。DxX,41(3):656-665
- 王春东,杨蕾,万福金,刘哲理,朱立坤。数据库水印模型及其算法综述。DX,47(4):946-954
- 王继军,孙泽锐,李国祥。图像抛物线插值空间大容量可逆信息隐藏算法。DX,47(1):137-144
- 王珠珠。基于 U 型检测网络的图像篡改检测算法。 TX,40(4):171-178
- 吴国华,龚礼春,袁理锋,姚晔。中文文本信息隐藏研究

- 进展。TX,40(9):145-156
- 肖振久,姜东,张晗,唐晓亮,陈虹。增强奇异值分解的 自适应零水印。ZTu,24(1):1-12
- 薛娟,刘萍。基于混沌 Gyrator 变换与离散小波变换的 多图像光学同步加密算法。DC,33(11):136-146
- 姚远志,王锋,严文博,俞能海。基于二维码和可逆可视 水印的图像隐私保护方案。TX,40(11):65-75
- 袁源,和红杰,陈帆。减少相邻位平面间冗余度的加密 图像可逆信息隐藏。ZTu,24(1):13-22
- 张旭,胡晰远,陈晨,彭思龙。基于透视投影下空间光照一致性分析的图像拼接篡改检测。ZX,45(10):1857-1869
- 章无用,陈建华,胡耀垓。基于重同步的高容量鲁棒图像水印算法。DX,47(4):862-870

A6:图像多分辨率处理(11篇)

- 范明明,池源,张铭津,李云松。基于深度学习的芯片图像超分辨率重建。MR,32(4):353-360
- 付利华,孙晓威,赵宇,李宗刚,黄笳倞,王路远。基于运动特征融合的快速视频超分辨率重构方法。MR,32
 (11):1022-1031
- 李青松,张旭东,张骏,高欣健,高隽。RGB-D结构相 似性度量下的多边自适应深度图像超分辨率重建。 ZTu,24(7):1160-1175
- 沈明玉,俞鹏飞,汪荣贵,杨娟,薛丽霞。多阶段融合网络的图像超分辨率重建。ZTu,24(8):1258-1269
- 谭政,相里斌,吕群波,孙建颖,李平付,高爽,尹增山。
 CX-6(02)微纳卫星超分辨率成像。YX,23(2):196-204
- 佟骏超,费加罗,陈靖森,李恒,丁丹丹。递归式多阶特征融合图像超分辨率算法。ZTu,24(2):302-312
- 杨娟,李文静,汪荣贵,薛丽霞。融合感知损失的生成式 对抗超分辨率算法。ZTu,24(8):1270-1282
- 应自炉,龙祥。多尺度密集残差网络的单幅图像超分辨率重建。ZTu,24(3):410-419
- 张焯林,赵建伟,飞龙。构建带空洞卷积的深度神经网络重建高分辨率图像。MR,32(3):259-267
- 赵小强,宋昭漾。多级跳线连接的深度残差网络超分辨率重建。DxX,41(10):2501-2508
- 周登文,赵丽娟,段然,柴晓亮。基于递归残差网络的图像超分辨率重建。ZX,45(6):1157-1165

B:图像分析(共272篇)

B1: 图像分割和基元检测(66 篇)

- 蔡烁,胡航滔,王威。基于深度卷积网络的高分遥感图 像语义分割。XC,35(12):2010-2016
- 曹峰梅,田海杰,付君,刘静。结合特征图切分的图像语义分割。ZTu,24(3):464-473
- 陈凯,陈秀宏。基于 ELM 的局部空间信息的模糊 C 均

- 值聚类图像分割算法。SC,34(1):100-110
- 谌华,郭伟,闫敬文。综合边界和纹理信息的合成孔径 雷达图像目标分割。ZTu,24(6):882-889
- 储珺,余佳佳,缪君,张桂梅。引入分数阶微分的局部高斯分布拟合能量模型。MR,32(5):409-419
- 戴激光,谢诗哲,苗志鹏,宋伟东,王杨,朱婷婷。高分辨率光学遥感几何与纹理约束的线段优化算法。CX,48
 (5):563-571
- 范晖,夏清国。基于平行 Snake 耦合 Kalman 滤波器的 车道线检测算法。DC,33(2):101-109
- 付利军, 兰方鹏。边缘信息耦合改进的 Hough 变换的车 道线实时检测算法。DC, 33(8):166-172
- 高宏杰,邱天爽,丑远婷,周明,张晓博。基于改进 U 型 网络的眼底图像血管分割。ZS,38(1):1-8
- 郭彤宇,王博,刘悦,魏颖。多通道融合可分离卷积神经网络下的脑部磁共振图像分割。ZTu,24(11):2009-2020
- 何国生,施露露,邹爽爽,洪欢欢,闻路红,史振志。基于自适应阈值的间充质干细胞分割方法研究。DC,33
 (6):18-23
- 何静,余昊宇,张昌凡,刘建华,罗学明。基于 Canny YOLOv3 的列车轮对踏面损伤检测。DC,33(12):25-30
- 何俊,吴从中,丁正龙,许良凤,詹曙。多尺度判别条件 生成对抗网络的前列腺 MRI 图像分割方法。ZTu,24 (9):1581-1587
- 侯小刚,赵海英,马严。基于超像素多特征融合的快速 图像分割算法。DX,47(10);2126-2133
- 胡玉进,雷柏英,郭力宝,毛木翼,靳泽隆,陈思平,夏焙, 汪天富。基于 BiSeNet 的小儿超声心动图左心分割方 法。ZS,38(5);533-539
- 黄国鹏,姬红兵,张文博。局部区域拟合的快速水平集图像分割方法。ZTu,24(12):2210-2221
- 黄龙,杨媛,王庆军,郭飞,高勇。结合全卷积神经网络的室内场景分割。ZTu,24(1):64-72
- 纪旋,梁久祯,侯振杰,常兴治,刘威。基于模板校正与 低秩分解的纺织品瑕疵检测方法。MR,32(3):268
- 季顺平,魏世清。遥感影像建筑物提取的卷积神经元网络与开源数据集方法。CX,48(4):448-459
- 蒋斌,涂文轩,杨超,刘虹雨,赵子龙。基于 DenseNet 的 复杂交通场景语义分割方法。MR,32(5):472-480
- 兰红,方治屿。3 维灰度矩阵的钢板缺陷图像识别。
 ZTu,24(6):859-869
- 兰蓉,林洋。抑制式非局部空间直觉模糊 C 均值图像 分割算法。DxX,41(6):1472 - 1479
- 雷涛,张肖,加小红,刘侍刚,张艳宁。基于模糊聚类的 图像分割研究进展。DX,47(8):1776-1791
- 雷晓亮,于晓升,迟剑宁,王莹,吴成东。稀疏形状先验的脑肿瘤图像分割。ZTu,24(12);2222-2232

- 李宝奇,贺昱曜,何灵蛟,强伟。基于全卷积神经网络的非对称并行语义分割模型。DX,47(5):1058-1064
- 李莉,王绪国。局部二值模式耦合双阈值 LM 优化的火焰图像边缘检测算法。DC,33(6):9-17
- 李云红,何亚瑞,章为川,周小计。利用点弦距离递归的图像角点检测算法。ZTu,24(7):1148-1159
- 李真伟,崔国忠,郭从洲,刘阳。任意形状曲线刃边的点扩散函数估计方法。CX,48(3):352-362
- 李致衡,陈亮,张博程,师皓,龙腾。基于最大熵阈值分割的 SAR 图像溢油检测。XC,35(6):1111-1117
- 廖旋,缪君,储珺,张桂梅。融合分割先验的多图像目标语义分割。ZTu,24(6):890-901
- 林文杰,李玉,赵泉华。结合 MST 划分和 RHMRF -FCM 算法的高分辨率遥感图像分割。CX,48(1):64
- 刘敏,方志军,高永彬。多阶段冠状动脉 CTA 三维分割 算法。XC,35(11):1911 - 1918
- 刘市祺,孙晓波,谢晓亮,侯增广。基于区域建议网络和 残差结构的导丝跟踪。MR,32(1):36-42
- 鲁正,陈大力,薛定宇。带尺寸约束的弱监督眼底图像 视盘分割。ZTu,24(5):827-835
- 罗会兰,卢飞,孔繁胜。基于区域与深度残差网络的图像语义分割。DxX,41(11):2777-2786
- 罗会兰,张云。基于深度网络的图像语义分割综述。 DX,47(10);2211-2220
- 罗会兰,张云。结合上下文特征与 CNN 多层特征融合的语义分割。ZTu,24(12):2200-2209
- 罗钧,杨永松,侍宝玉。基于改进的自适应差分演化算法的二维 Otsu 多阈值图像分割。DxX,41(8):2017-2024
- 马超,刘亚淑,骆功宁,王宽全。基于级联随机森林与活动轮廓的 3DMR 图像分割。ZX,45(5):1004-1014
- 马伟,刘鸿利,孙明建,徐军,蒋燕妮。新型乳腺磁共振 增强图像肿瘤区域的自动分割模型。ZS,38(1):28
- 潘峰,孙红霞。基于蝗虫算法的图像多阈值分割方法。 DC,33(1):149-155
- 彭敏,马宁,王少军,刘大同。基于可见光图像的工业过程气体泄漏检测研究。DC,33(6):1-8
- 孙锦峰,丁辉,王广志。基于 W Net 的肝静脉和肝门 静脉全自动分割。ZS,38(5):513 - 521
- 汤润发,宋慧慧,张开华,姜斯浩。特征注意金字塔调制网络的视频目标分割。ZTu,24(8):1349-1357
- 王延召,彭国华,延伟东。基于流形排序和联合连通性 先验的显著性目标检测。MR,32(1):82-93
- 王宇,杨艺,王宝山,王田,卜旭辉,王传云。深度神经网络条件随机场高分辨率遥感图像建筑物分割。YX,23
 (6):1194-1208
- 王云艳,罗冷坤,周志刚。结合 KSW 和 FCNN 的道路场景分割。ZTu,24(4):583-591

- 吴一全,周建伟。基于混沌布谷鸟优化的二维 Tsallis 交 叉熵建筑物遥感图像分割。SC,34(1):22-31
- 武薇,周涛,朱亚萍,范影乐。引入初级视通路计算模型的轮廓检测。ZTu,24(5):805-815
- 肖锋,芮挺,任桐炜,王东。全卷积语义分割与物体检测网络。ZTu,24(3):474-482
- 熊昌镇,智慧。融合多尺度信息的弱监督语义分割及优化。TX,40(1):163-171
- 徐从裕,徐俊,高雨婷,胡宗久,杨雅茹。面向在线测量的亚像素提取与实验验证。DC,33(8):23-29
- 杨宏宇,王峰岩。基于深度卷积神经网络的气象雷达噪声图像语义分割方法。DxX,41(10):2373-2381
- 姚拓中,左文辉,安鹏,宋加涛。渐进式前景更新和区域 关联的图像协同分割。ZTu,24(3):366-375
- 阴法明,王康,赵力。电缆护套厚度灰度矩亚像素测量研究。DC,33(10):128-133
- 张大明,张学勇,李璐,刘华勇。利用广义信息熵谱选择的图像分割。MR,32(3):225-236
- 张剑华,陈嘉伟,张少波,郭建双,刘盛。多模态深度神经网络的固废对象分割。ZTu,24(7):1136-1147
- 张睿,吴薇薇,周著黄,姜涛,吴水才。基于改进模糊连接度的CT图像肝脏血管三维分割方法。ZS,38(1):18
- 赵斐,张文凯,闫志远,于泓峰,刁文辉。基于多特征图金字塔融合深度网络的遥感图像语义分割。DxX,41(10):2525-2531
- 赵凤,张咪咪,刘汉强。区域信息驱动的多目标进化半 监督模糊聚类图像分割算法。DxX,41(5):1106-1113
- 赵明君, 李杰, 毛明禾。基于标签传递的人像分割。 SC,34(1):175-182
- 赵泉华,赵静,张洪云,李玉。高斯 Copula 的多光谱遥感影像分割。MR,32(7):633-641
- 周力, 闵海。基于局部连接度和差异度算子的水平集纹理图像分割。ZTu, 24(1):39-49
- 邹亚君,李翌昕,马尽文。基于深度学习的酒标分割研究。XC,35(4):623-630
- 邹耀斌,雷帮军,臧兆祥,王俊英,胡泽海,董方敏。归一 化互信息量最大化导向的自动阈值选择方法。ZX,45
 (7):1373-1385
- 左宗成,张文,张东映。融合可变形卷积与条件随机场的遥感影像语义分割方法。CX,48(6):718-726

B2: 目标表达、描述、测量(12篇)

- 曾超,王少军,卢红,孔聪。线结构光光条中心提取算法研究。ZTu,24(10):1772-1780
- 陈占龙,叶文。复杂面实体拓扑关系的精细化模型。 CX,48(5);630-642
- 程绵绵,孙群,徐立,陈换新。面轮廓线相似性和复杂性 度量及在化简中的应用。CX,48(4);489-501
- 方莉娜,黄志文,罗海峰,陈崇成。车载激光扫描数据中

VII

- 实线型交通标线提取。CX,48(8):960-974
- 何冰,崔江涛,肖斌,彭延国。参数可调的通用半正交图 像矩模型。ZTu,24(10):1711-1727
- 李成名,殷勇,武鹏达,刘晓丽。一种聚集性面群中毗邻区自动识别与处理方法。CX,48(3):363-373
- 李德志,成孝刚,汪涛,吕泓君,李海波。一种基于有界变分的树叶锯齿特征提取算法研究。SC,34(1):167-174
- 谢小芳,万勇,严可馨,张洪军。地下洞库三维激光扫点 云区域分割和容积计算。DC,33(9):80-86
- 徐君,王彩玲,王丽。采用 PPI 算法改进的一种数学形态学端元提取方法。CX,48(8):996-1003
- 于瑞云,苏展,谢青,王俊楠。基于空间分割的人体模型 骨骼提取算法。JX,42(9):2049-2061
- 张东波,易良玲,许海霞,张莹。多尺度局部结构主导二值模式学习图像表示。DxX,41(4):896-903
- 支珊,赵文珍,赵文辉,段振云,孙禾。齿距视觉测量的 齿廓图像边缘失真修正算法。DC,33(4):50-57

B3:目标特性提取分析(42篇)

- 白茹意,郭小英,贾春花,耿海军。绘画图像美学研究方法综述。ZTu,24(11):1860-1881
- 程姗,曾焕强,陈婧,田钰,蔡灿辉。基于特征融合的无 参考屏幕图像质量评价。XC,35(3):419-425
- 崔帅, 张骏, 高隽。深度残差学习的光源颜色估计。 ZTu, 24(12):2111-2125
- 戴声奎,张超,黄正暐,钟峥。无色恒常性原理与CLC 白平衡方法。XC,35(4):676-685
- 丁颖,刘延伟,刘金霞,刘科栋,王利明,徐震。虚拟现实 全景图像显著性检测研究进展综述。DX,47(7):1575
 -1583
- 傅迎华,李江,潘东艳,王国政,付东翔。基于稀疏表示的视网膜图像对变化检测。ZS,38(5):540-548
- 甘俊英,翟懿奎,项俐,曹鹤,何国辉,曾军英,谭海英,邓 文博。面向活体人脸检测的时空纹理特征级联方法。 MR,32(2):117-123
- 高敏娟,党宏社,魏立力,张选德。基于非局部梯度的图像质量评价算法。DxX,41(5):1122-1129
- 葛利跃,张聪炫,陈震,黎明,陈昊。相互结构引导滤波 TV-L1 变分光流估计。DX,47(3):707-713
- 洪施展,曹铁勇,方正,项圣凯。稀疏深度特征对传统显著性检测的优化。ZTu,24(9):1493-1503
- 侯向丹,李柏岑,刘洪普,杜佳卓,郑梦敬,于铁忠。融合 纹理信息的 SLIC 算法在医学图像中的研究。ZX,45 (5):965-974
- 郎洪,丁朔,陆键,马晓丽。复杂场景下的交通视频显著性前景目标提取。ZTu,24(1):50-63
- 黎明,邢冬冬,汪宇玲。基于多分辨率 Trace 变换的纹理图像分类。DX,47(4):962-969
- 李策,贾盛泽,曲延云。一种自然场景图像的目标材质

- 视觉特征映射算法。ZX,45(6):1198-1206
- 李东民,李静,梁大川,王超。基于多尺度先验深度特征的多目标显著性检测方法。ZX,45(11):2058-2070
- 李鹏,王延江。一种基于动态显著性的人眼注视点移动 计算模型。DX,47(12):2582-2589
- 李庆武,马云鹏,周亚琴,邢俊。基于无监督栈式降噪自 编码网络的显著性检测算法。DX,47(4):871-879
- 李炜,李全龙,刘政怡。基于加权的 K 近邻线性混合显著性目标检测。DxX,41(10):2442-2449
- 刘嘉诚,王爽,刘伟华,胡炳樑。显著性权重 RX 高光谱 异常点检测。YX,23(3):418-430
- 刘青平,赵学胜,王磊,孙文彬。横-纵扫描的 Voronoi 图栅格生成算法。CX,48(3):393-399
- 刘思琦,郎丛妍,冯松鹤。基于对抗式扩张卷积的多尺度人群密度估计。ZTu,24(3):483-492
- 刘哲良,朱玮,袁梓洋。结合全卷积网络与 CycleGAN 的图像实例风格迁移。ZTu,24(8):1283-1291
- 刘政怡,徐天泽。基于优化的极限学习机和深度层次的 RGB-D显著检测。DxX,41(9);2224-2230
- 钱晓亮,白臻,陈渊,张鼎文,史坤峰,王芳,吴青娥,毋媛媛,王慰。协同视觉显著性检测方法综述。DX,47(6): 1352-1365
- 谭明明,范影乐,武薇,佘青山,甘海涛。多路径卷积神经网络的轮廓感知。ZTu,24(10):1750-1760
- 汤一平,王丽冉,何霞,陈朋,袁公萍。基于区域建议策略的视盘定位方法。ZS,38(1):9-17
- 唐红梅,王碧莹,韩力英,周亚同。基于目标紧密性与区域同质性策略的图像显著性检测。DxX,41(10):2532
- 王震,景军锋,张缓缓,苏泽斌。基于主结构提取与签名 算法的织物缺陷检测。DC,33(4):36-41
- 乌萌,郝金明,付浩,高扬,张辉。利用解耦光流运动场模型的双目视觉里程计位姿优化方法。CX,48(4):460-472
- 吴加莹,杨赛,堵俊,董宁。融合显著与深度信息的缝切割重定向方法。DX,47(7):1547-1550
- 肖懿,朱贤益,何仰提,郑燕。细节感知的纹理滤波算法。ZTu,24(6):969-978
- 谢斌,徐晨,韩雨,刘钧彬。显著颜色提取的织物图像色彩转移改进方法。XC,35(4):593-600
- 徐贵力,谢蠩,程月华,王正盛,张泽宏,姜斌。一种抗光 照突变的前景提取方法研究。DX,47(7):1401-1407
- 于莉楠, 宁晓刚, 王浩, 刘纪平。采用 PPI 算法改进的一种数学形态学端元提取方法。CX, 48(8):1004-1013
- 于明,李博昭,于洋,刘依。基于多图流形排序的图像显著性检测。ZX,45(3):577-592
- 余映,吴青龙,邵凯旋,康迂星,杨鉴。超复数域小波变换的显著性检测。DxX,41(9):2231-2238
- 袁非牛,夏雪,李钢,章琳,史劲亭。面向烟雾识别与纹理分类的 Gabor 网络。ZTu,24(2):269-281

- 张聪炫,陈震,熊帆,黎明,葛利跃,陈昊。非刚性稠密匹配大位移运动光流估计。DX,47(6):1316-1323
- 张冬明,靳国庆,代锋,袁庆升,包秀国,张勇东。基于深度融合的显著性目标检测算法。JX,42(9):2076-2088
- 张芳,王萌,肖志涛,吴骏,耿磊,童军,王雯。基于全卷 积神经网络与低秩稀疏分解的显著性检测。ZX,45 (11):2148-2158
- 张晴,李云,李文举,林家骏,肖莽,陈飞云。融合深度特征和多核增强学习的显著目标检测算法。ZTu,24(7):
 1096-1105
- 周德龙,张捷,朱思聪。多方向多尺度 Gabor 特征表示 及其匹配算法。DX,47(9):1998 - 2002

B4:目标检测和识别(88 篇)

- 曹晔。一种基于局部排序的约束稀疏编码的图像分类 方法。DX,47(4):832-836
- 查宇飞,吴敏,库涛,陈兵,张园强。基于位置敏感模型的深度跟踪算法研究。DX,47(10):2076-2082
- 车令夫,田宇坤,朱海平,张军平。基于最优输运的迁移
 学习。MR,32(6):481-493
- 陈灿,陈昭炯,顾杨,叶东毅。尺度感知的分块协同式相 关滤波跟踪算法。MR,32(10):869-881
- 陈丁,万刚,李科。多层特征与上下文信息相结合的光 学遥感影像目标检测。CX,48(10):1275-1284
- 陈莹莹,房胜,李哲。加权多特征外观表示的实时目标 追踪。ZTu,24(2):291-301
- 丁思静,孙中阳,孙延奎,王永革。结合 PCANet 与线性 判别分析的视网膜光学相干断层扫描图像分类。ZTu, 24(1):115-123
- 董珊,杨占昕,龙腾,庄胤,陈禾,陈亮。基于结构化稀疏 表达的高分辨率光学遥感图像的船只检测。XC,35
 (6):986-993
- 董志鹏,王密,李德仁,王艳丽,张致齐。遥感影像目标的尺度特征卷积神经网络识别法。CX,48(10):1285-1295
- 盖杉,鲍中运。基于改进深度卷积神经网络的纸币识别研究。DxX,41(8):1992-2000
- 葛疏雨,高子淋,张冰冰,李培华。基于核化双线性卷积 网络的细粒度图像分类。DX,47(10):2134-2141
- 郭伟,邢宇哲,曲海成。高置信度互补学习的实时目标 跟踪。ZTu,24(8):1315-1326
- 郭文慧,曹飞龙。基于 3D 多尺度特征融合残差网络的高光谱图像分类。MR,32(10):882-891
- 郭雪峰,陈红磊,张东波。欧元硬币年份检测与识别。
 ZTu,24(9):1472-1481
- 郭亚宁,林伟,潘泉,赵春晖,胡劲文,马娟娟。基于推广 流形学习的高分辨遥感影像目标分类。ZX,45(4):720 -729
- 郝彤,赵杰。面向双曲线形态的探地雷达图像识别技术 综述。DX,47(6):1366-1372

- 侯志强,陈立琳,余旺盛,马素刚,范九伦。基于双模板 Siamese 网络的鲁棒视觉跟踪算法。DxX,41(9):2247 -2255
- 侯志强,王帅,廖秀峰,余旺盛,王姣尧,陈传华。基于样本质量估计的空间正则化自适应相关滤波视觉跟踪。 DxX,41(8):1983-1991
- 胡正平,尹艳华,顾健新。位置-尺度异空间协调的多特征选择相关滤波目标跟踪算法。XC,35(12):1979-1989
- 黄强,王永雄。感知器残差网络和超限学习机融合的 3D物体识别。ZTu,24(10):1738-1749
- 回天,哈力旦・阿布都热依木,杜晗。结合 Faster R CNN 的多类型火焰检测。ZTu,24(1):73 –83
- 姜文涛,张驰,张晟翀,刘万军。多尺度特征图融合的目标检测。ZTu,24(11):1918-1931
- 金静,党建武,王阳萍,翟凤文。区域颜色属性空间直方 图背景建模。ZTu,24(5):714-723
- 李策,张栋,杜少毅,朱子重,贾盛泽,曲延云。一种迁移 学习和可变形卷积深度学习的蝴蝶检测算法。ZX,45 (9):1772-1782
- 李坤垚,郗润平,连春艳,寇学锋。基于深度学习的海面目标检测方法研究。ZTi,24(4):352-361
- 李庆忠,李宜兵,牛炯。基于改进 YOLO 和迁移学习的 水下鱼类目标实时检测。MR,32(3):193-203
- 李玺,查宇飞,张天柱,崔振,左旺孟,侯志强,卢湖川,王 菡子。深度学习的目标跟踪算法综述。ZTu,24(12): 2057-2080
- 李玉,王亚琼,赵雪梅,赵泉华。基于随机投影深度函数的停车场车辆提取方法。DX,47(2):322-330
- 梁华刚,温晓倩,梁丹丹,李怀德,茹锋。多级卷积特征 金字塔的细粒度食物图片识别。ZTu,24(6):870-881
- 林克正,李昊天,白婧轩,李骜。语义自编码结合关系网络的零样本图像识别算法。MR,32(3):214-224
- 刘巧元,王玉茹,张金玲,殷明浩。基于相关滤波器的视频跟踪方法研究进展。ZX,45(2):265-275
- 刘忠林,吴一全,邹宇。多尺度红外超像素图像模型的 小目标检测。ZTu,24(12):2159-2173
- 陆华才, 贺华展, 黄宜庆, 高文根。改进 Canny 边缘算子和高斯混合模型的运动目标检测。DC, 33(10):142-147
- 罗会兰,石武。结合连续卷积算子的自适应加权目标跟 踪算法。ZTu,24(7):1106-1115
- 孟母,李诚新。近年目标跟踪算法短评——相关滤波与 深度学习。ZTu,24(7):1011-1016
- 孟琭,李诚新。双特征模型核相关滤波目标跟踪。ZTu, 24(12):2183-2199
- 孟录, 杨旭。目标跟踪算法综述。ZX, 45(7):1244 -1260
- 孟庆鑫,孟庆磊,闫帅。基于时空信息的运动目标识别 算法。DC,33(2):154-160

- 莫丽莎,马惠敏。遮挡图像分析及完形检测算法。DC, 33(4):10-18
- 宁凯,张东波,印峰,肖慧辉。基于视觉感知的智能扫地 机器人的垃圾检测与分类。ZTu,24(8):1358-1368
- 欧阳乐诚,王华力。地面小目标快速检测算法研究。
 XC,35(12):1952-1958
- 蒲磊,冯新喜,侯志强,余旺盛。基于空间可靠性约束的 鲁棒视觉跟踪算法。DxX,41(7):1650-1657
- 钱沄涛,陈思宇,胡忠闯。利用卷积神经网络的车道线 检测方法。XC,35(3):435-442
- 孙丹,王莉莉。基于空 频域映射与虚警抑制的弱小目标检测算法。DC,33(1):31 39
- 孙彦景,石韫开,云霄,朱绪冉,王赛楠。基于多层卷积 特征的自适应决策融合目标跟踪算法。DxX,41(10): 2464-2470
- 孙怡峰,吴疆,黄严严,汤光明。一种视频监控中基于航 迹的运动小目标检测算法。DxX,41(11):2744-2751
- 覃润楠,王睿。融合对抗学习策略的实例级物体检测算法。MR,32(11):1006-1013
- 唐永强,张文生。基于自步学习的鲁棒多样性多视角聚类。ZTu,24(8):1338-1348
- 田艳玲,张维桐,张锲石,路纲,吴晓军。图像场景分类 技术综述。DX,47(4):915-926
- 童鸣,何楚,何博琨,王文伟。面向移动端的单阶段端到端目标检测压缩算法。XC,35(12);2017-2028
- 汪荣贵,姚旭晨,杨娟,薛丽霞。注意力迁移的联合平衡 领域自适应。ZTu,24(7):1116-1125
- 汪荣贵,郑岩,杨娟,薛丽霞。代表特征网络的小样本学 习方法。ZTu,24(9):1514-1527
- 王飞跃, 苟超, 王建功, 沈甜雨, 郑文博, 于慧。平行皮肤: 基于视觉的皮肤病分析框架。MR, 32(7):577-588
- 王洪雁,邱贺磊,郑佳,裴炳南。光照变化下基于逆向稀疏表示的视觉跟踪方法。DxX,41(3):632-639
- 王华兵,万烂军。基于 Contourlet 及目标特性分析的弱小红外目标检测。DC,33(3):120-125
- 王柳婧,陈宁江,王文娟,方利梅。一种优化的时空上下 文跟踪方法。DC,33(4):154-159
- 王培森,宋彦,戴礼荣。基于多通道视觉注意力的细粒 度图像分类。SC,34(1):157-166
- 王肖锋,孙明月,葛为民。基于图像协方差无关的增量特征提取方法研究。DxX,41(11):2768-2776
- 王鑫,李可,宁晨,黄凤辰。基于深度卷积神经网络和多核学习的遥感图像分类方法。DxX,41(5):1008-1105
- 王旭东,王屹炜,闫贺。背景抑制直方图模型的连续自适应均值漂移跟踪算法。DxX,41(6):1480-1487
- 王译萱,吴小俊。基于深度特征与局部约束掩膜的相关 滤波跟踪算法。SC,34(5):808-818
- 王永雄,张晓兵。聚焦—识别网络架构的细粒度图像分类。ZTu,24(4):493-502
- 文威威,文贡坚,回丙伟,陈鼎新。结合全局与局部信息

- 的点云目标识别模型库构建。ZTu,24(2):248-257
- 吴鹏,林国强,郭玉荣,赵振兵。自学习稀疏密集连接卷 积神经网络图像分类方法。XC,35(10):1747-1752
- 吴圣美,刘骊,付晓东,刘利军,黄青松。结合人体检测和多任务学习的少数民族服装识别。ZTu,24(4):562-572
- 吴一全,刘忠林。遥感影像的海岸线自动提取方法研究 进展。YX,23(4):582-602
- 谢柳,尚振宏,刘辉。基于相关滤波融合多特征的运动目标跟踪方法。SC,34(1):122-134
- 谢晓蔚, 史健芳。弱监督卷积神经网络的多目标图像检测研究。DC, 33(6):31-37
- 熊丹, 卢惠民, 肖军浩, 郑志强。具有尺度和旋转适应性的长时间目标跟踪。ZX, 45(2):289 304
- 杨建秀,谢雪梅,金星,杨文哲,石光明。多尺度特征增强融合的实时航拍车辆检测算法。ZTi,24(4):298-305
- 姚明海,方存亮。多层校正的无监督领域自适应方法。
 ZTu,24(9):1528-1536
- 姚群力,胡显,雷宏。基于多尺度融合特征卷积神经网络的遥感图像飞机目标检测。CX,48(10):1266-1274
- 尹红,符祥,曾接贤,段宾,陈英。选择性卷积特征融合的花卉图像分类。ZTu,24(5):762-772
- 余东行,郭海涛,张保明,赵传,卢俊。GNSS-R/IR监测地表冻融状态对延迟多普勒波形和多路径数据影响分析。CX,48(8);1046-1058
- 余烨,徐京涛,贺敏雪,路强。增强边缘梯度特征局部量 化策略驱动下的车标识别。ZTu,24(9):1458-1471
- 张博,江沸菠,刘刚。利用感知模型的长期目标跟踪。 ZTu,24(11):1906-1917
- 张德,李国璋,王怀光,张峻宁。位姿估计自适应学习率的改进。DC,33(6);51-58
- 张琳娜,岑翼刚。铁轨图像的低秩矩阵分解缺陷检测。
 XC,35(4):667-675
- 张能波,苏震斌,谢维信。Lasso 约束下融和光流信息的 DCF 目标跟踪算法。XC,35(5):911-918
- 张世辉,何琦,董利健,杜雪哲。基于遮挡区域建模和目标运动估计的动态遮挡规避方法。ZX,45(4):771-786
- 张伟,钱沄涛。引入全局约束的精简人脸关键点检测网络。XC,35(3):507-515
- 张雪松,庄严,闫飞,王伟。基于迁移学习的类别级物体识别与检测研究与进展。ZX,45(7):1224-1243
- 张烨,许艇,冯定忠,蒋美仙,吴光华。基于难分样本挖掘的快速区域卷积神经网络目标检测研究。DxX,41
 (6):1496-1502
- 赵鹏,冯晨成,韩莉,纪霞。融合深度学习和语义树的草图识别方法。MR,32(4):361-368
- 郑健红,鲍官军,张立彬,荀一,陈教料。结合深度学习与支持向量机的金属零件识别。ZTu,24(12):2233

-2242

- 朱继洪,裴继红,赵阳。卷积神经网络(CNN)训练中卷 积核初始化方法研究。XC,35(4):640-648
- 朱建章,王栋,卢湖川。背景与时间感知的相关滤波实时视觉跟踪。ZTu,24(4):536-549
- 左国玉,杜婷婷,马蕾,卢佳豪,龚道雄。基于动作注意 策略的树形 DDQN 目标候选区域提取方法。DxX,41 (3):666-674

B5:人体生物特征提取和验证(64 篇)

- 包本刚。融合多特征的目标检测与跟踪方法。DC,33
 (9):93-99
- 鲍文霞,解栋文,朱明,梁栋。结合聚合通道特征和双树 复小波变换的手势识别。ZTu,24(7):1067-1075
- 曾接贤,方琦,符祥,冷璐。融合多层特征的多尺度行人 检测。ZTu,24(10):1683-1691
- 曾军英,谌瑶,秦传波,甘俊英,翟懿奎,冯武林。级联优化 CNN 的手指静脉图像质量评估。ZTu,24(6):902-913
- 陈鸿昶,吴彦丞,李邵梅,高超。基于行人属性分级识别的行人再识别。DxX,41(9):2239-2246
- 陈亮雨,李卫疆。多形状局部区域神经网络结构的行人 再识别。ZTu,24(11):1932 - 1941
- 成科扬,周博文,李世超,孙爽。结合网格密度聚类的行人检测候选域生成。ZTu,24(9):1482-1492
- 樊迪, Hyunwoo Kim, 陈晓鹏, 刘云辉, 黄强。机器仿生眼的多任务学习人脸分析。MR, 32(1):10-16
- 冯世灵,王修晖。结合非局部与分块特征的跨视角步态识别。MR,32(9):821-827
- 付晓峰,吴俊,牛力。小数据样本深度迁移网络自发表情分类。ZTu,24(5):753-761
- 甘俊英,戚玲,秦传波,何国辉。结合迁移学习的轻量级 指纹分类模型。ZTu,24(7):1086-1095
- 甘俊英,戚玲,项俐,何国辉,曾军英,秦传波。轻量化多特征融合的指纹分类算法研究。XC,35(5):888-896
- 甘俊英,谭海英,项俐,翟懿奎,曾军英。结合局部二值模式和卷积神经网络的人脸美丽预测。XC,35(1):150-158
- 甘俊英,翟懿奎,黄聿,曾军英,姜开永。基于双激活层 深度卷积特征的人脸美丽预测研究。DX,47(3):636
- 胡敏,余胜男,王晓华。基于约束性循环一致生成对抗 网络的人脸表情识别方法。DC,33(4):169-177
- 胡正平,张敏姣,邱悦,潘佩云,郑媛。时空结合相机关 联自适应特征增强的视频行人再识别算法研究。XC, 35(7):1180-1190
- 蒋建国,杨宁,齐美彬,陈翠群。区域块分割与融合的行 人再识别。ZTu,24(4):513-522
- 雷超,张海燕,詹曙。结合曲面局部纹理特征的3维人 脸识别。ZTu,24(2):215-226

- 李宏菲,李庆,周莉。基于多视觉描述子及音频特征的 动态序列人脸表情识别。DX,47(8):1643-1653
- 李振娟, 贾桂敏, 杨金锋, 张海刚。手指静脉图像血管网分形修复方法。XC,35(8):1334-1342
- 林英杰,吴建宁,林丽辉。人体步态对称性量化评价方 法研究进展。ZS,38(2):222-232
- 刘丹,马同伟。结合语义信息的行人检测方法。DC,33 (1):54-60
- 刘国庆,卢桂馥,张强,周胜。基于 L21 范数的非负低秩 图嵌入算法。MR,32(10):936-944
- 卢官明,朱海锐,郝强,闫静杰。基于深度残差网络的人脸表情识别。SC,34(1):50-57
- 卢来,邓文,吴卫祖。基于改进深度卷积神经网络的步态识别算法。DC,33(2):88-93
- 陆泽早,彭刚,何顶新。使用聚合通道特征的嵌入式实时人体头肩检测。ZTu,24(4):523-535
- 罗浩,姜伟,范星,张思朋。基于深度学习的行人重识别研究进展。ZX,45(11):2032-2049
- 桑海峰,王传正,吕应宇,何大阔,刘晴。基于多信息流动卷积神经网络的行人再识别。DX,47(2):351-357
- 石亮,那天,宋晓宁,朱玉全。利用 CNN 和 PCA 约束优 化模型实现稀疏表示分类。ZTu,24(4):503-512
- 宋昊泽,吴小俊。人脸老化/去龄化的高质量图像生成模型。ZTu,24(4):592-602
- 宋平,黄玲,王云龙,刘菲,孙哲南。基于计算光场成像的虹膜活体检测方法。ZX,45(9):1701-1712
- 苏海明,侯振杰,梁久祯,许艳,李兴。使用人眼几何特征的视线追踪方法。ZTu,24(6):914-923
- 孙锐,王慧慧,叶子豪。融合深度感知特征与核极限学习机的行人检测。DC,33(2):39-47
- 谭小慧,李昭伟,樊亚春。基于多尺度细节增强的面部 表情识别方法。DxX,41(11):2752 - 2759
- 王飞, 王林, 张儒良, 赵勇, 王全红。基于融合 FPN 和 FasterR CNN 的行人检测算法。SC, 34(3):530 537
- 王飞,张莹, 即豪, 张东波, 牟清萍。多尺度残差网络模型的研究及其应用。DC, 33(4):19-28
- 王枫,厉智,刘青山,孙玉宝。基于部件检测与检索的行人精细化分割。DX,47(2):502-508
- 王海纶,李书杰,贾伟,刘晓平。卷积神经网络在掌纹识别中的性能评估。ZTu,24(8):1231-1248
- 王科俊,丁欣楠,邢向磊,刘美辰。多视角步态识别综述。ZX,45(5):841-852
- 王垆阳,雷军,梁浩哲,张宇倩,李国辉。结合流形密度的聚集行为模式分割算法。ZTu,24(5):734-743
- 王勇,王沙沙,田增山,周牧,吴金君。基于 FMCW 雷达的双流融合神经网络手势识别方法。DX,47(7):1408-1415
- 王志强,童莹,曹雪虹,任丽。加权鉴别保持投影降维的 非约束人脸识别研究。XC,35(10):1762-1772
- 吴彦丞,陈鸿昶,李邵梅,高超。基于行人属性先验分布

- 的行人再识别。ZX,45(5):953-964
- 徐琳琳,张树美,赵俊莉。构建并行卷积神经网络的表情识别算法。ZTu,24(2):227-236
- 闫美阳,李原。多源域混淆的双流深度迁移学习。ZTu, 24(12):2243-2254
- 阳瑜,吴小俊。基于人脸标准化的纹理和光照保持3D 人脸重构。MR,32(6):557-568
- 杨金锋,石滨萌。手指双模态特征图像感兴趣区域稳定 定位方法研究。XC,35(7):1191-1200
- 杨力,马卓茹,张程辉,裴庆祺。基于步态特征的移动平台持续认证方案。TX,40(7):126-134
- 姚登峰,江铭虎,鲍泓,李晗静,阿布都克力木・阿布力 改。手语计算 30 年:回顾与展望。JX,42(1):111-135
- 姚树春,蔡黎亚,刘正。基于级联回归网络的多尺度旋转人脸检测方法。DC,33(5):32-38
- 叶继华,刘燕,李汉曦,甘荥。自然场景下人脸表情数据 集的构建。SC,34(1):58-67
- 叶学义,罗宵晗,王鹏,陈慧云。基于非凸低秩分解判别的叠加线性稀疏人脸识别。ZTu,24(8):1327-1337
- 余晨阳,温林凤,杨钢,王玉涛。结合 BiLSTM 和注意力 机制的视频行人再识别。ZTu,24(10):1703-1710
- 余璟,达飞鹏。结合加权局部旋度模式的3维人脸表情识别。ZTu,24(7):1076-1085
- 张海涛,李美霖,董帅含。两层级联卷积神经网络的人 脸检测。ZTu,24(2):203-214
- 张海燕,文翔,臧怀娟,郑荣生,詹曙。基于 3DMM 的人 脸姿态校正算法。DC,33(7):99 - 105
- 张珂,王新胜,郭玉荣,苏昱坤,何颖宣。人脸年龄估计的深度学习方法综述。ZTu,24(8):1205-1230
- 张淑军,彭中,王传旭。基于彩色 深度视频和 CLDS 的手语识别。SC,34(1):91 99
- 张婉绮,王志永,刘洪海。基于改进 SVR 的眼睛中心定位方法。MR,32(1):17-23
- 章坚武,沈炜,吴震东。卷积神经网络的人脸隐私保护识别。ZTu,24(5):744-752
- 支双双,赵庆会,唐琎。多层语义融合 CNN 的步态人体 语义分割。ZTu,24(8):1302-1314
- 钟德星,朱劲松,杜学峰。掌纹识别研究进展综述。 MR,32(5):436-445
- 周凯伟,万建武,王洪元,马宏亮。联合标签预测与判别 投影学习的半监督典型相关分析。ZTu,24(7):1126 -1135
- 周智恒,刘楷怡,黄俊楚,陈增群。一种基于等距度量学习策略的行人重识别改进算法。DxX,41(2):477-483

C:图像理解(共136篇)

C1: 图像匹配和融合(58篇)

白鑫,卫琳。基于 IHS 变换与自适应区域特征的遥感图像融合算法。DC,33(2):161-167

- 曾军英,冯武林,甘俊英,翟懿奎,秦传波,王璠,朱伯远。
 实时自适应的立体匹配网络算法。XC,35(5):843
 -849
- 陈超迁,孟勇,杨平吕,罗其祥,周则明。基于边缘增强与光谱特性保持的 Pan sharpening 融合模型。ZX,45 (2):374-387
- 陈方,许允喜。局部灰度极值模式及其局部描述符。
 ZTu,24(3):376-388
- 陈敏,朱庆,何海清,严少华,赵怡涛。面向城区宽基线立体像对视角变化的结构自适应特征点匹配。CX,48
 (9):1129-1140
- 陈晓勇,何海清,周俊超,安谱阳,陈婷。低空摄影测量立体影像匹配的现状与展望。CX,48(12):1595-1603
- 陈应霞,陈艳,刘丛。遥感影像融合 AIHS 转换与粒子 群优化算法。CX,48(10):1296-1304
- 崔怡文,任佳佳。基于非下采样 Shearlet 变换与差异度量的遥感图像融合算法。DC,33(12):147-154
- 丁小艳,王婷。基于交叉检验 ORB 和 MCC 的图像模板 匹配算法。DC,33(5):39-45
- 杜永生,黄传波。基于质量度量与颜色校正的多曝光图像融合算法。DC,33(1):90-98
- 樊逸清,李海晟,楚东东。使用线约束运动最小二乘法的视差图像拼接。ZTu,24(1):23-30
- 付争方,朱虹,余顺园,薛杉。基于灰度级映射函数建模的多曝光高动态图像重建。SC,34(3):472-490
- 高少忠,沈小林。DT CWT 优化边缘特征和自适应 PCNN 的图像融合。DC,33(9):114 - 120
- 宫睿,王小春。BEMD 分解和 W 变换相结合的红外与可见光图像融合。ZTu,24(6):987-999
- 郭文月,刘海砚,孙群,余岸竹,丁梓越。顾及几何特征相似性的多源等高线匹配方法。CX,48(5):643-653
- 韩敏, 闫阔, 秦国帅。基于改进 KAZE 的无人机航拍图 像拼接算法。ZX, 45(2):305-314
- 贾迪,李玉秀,赵明远,朱宁丹。面向像对直线特征匹配的线特征矫正与提纯方法。ZTu,24(7):1176-1187
- 贾迪,吴思,赵明远,杨宁华。平滑约束与三角网比例剖分像对稠密匹配。ZTu,24(11):1962-1971
- 贾迪,赵明远,杨宁华,朱宁丹,孟琭。面向重复纹理及非刚性形变的像对高效稠密匹配方法。ZTu,24(6):924-933
- 贾迪,朱宁丹,杨宁华,吴思,李玉秀,赵明远。图像匹配方法研究综述。ZTu,24(5):677-699
- 焦姣,吴玲达。形态学滤波和改进 PCNN 的 NSST 域多 光谱与全色图像融合。ZTu,24(3):435-446
- 赖锦祥,雷亮,阮杨,邓凯元,徐初东,周金运。基于等积 环投影与 Zernike 矩的快速模板匹配。DX,47(6):1324 -1330
- 李红,宋春花,牛保宁。高质量快速全景场景再现技术。
 ZTu,24(2):192-202
- 李铁,周丰年,赵建虎。多波束系统安装偏差整体校准

的地形特征匹配方法。CX,48(4):512-519

- 廖林,李建华。柔性密封条截面误差自动视觉测量方法。ZTu,24(6):1000-1010
- 刘瑾,季顺平。基于深度学习的航空遥感影像密集匹配。CX,48(9):1141-1150
- 刘玉杰,冯士贺,李宗民,李华。用于快速服装搭配的 FMatchNet 算法。ZTu,24(6):979 - 986
- 罗娟,王立平,谭云兰。二代 Curvelet 变换耦合细节度量模型的遥感图像融合算法。DC,33(7):129-136
- 吕旺,董瑶海,沈毅力,张志清,陈文强。静止气象卫星 轨道运动的成像补偿研究。YX,23(2):185-195
- 孟录,魏子然。三维图匹配算法。ZTu,24(5):794-804
- 南轲,齐华,叶沅鑫。深度卷积特征表达的多模态遥感 影像模板匹配方法。CX,48(6):727-736
- 牛燕雄,陈梦琪,张贺。基于尺度不变特征变换的快速 景象匹配方法。DxX,41(3):626-631
- 荣传振,贾永兴,吴城,杨宇,朱莹。红外与可见光图像 分解与融合方法研究。SC,34(1):146-156
- 荣传振,贾永兴,杨宇,朱莹,王渊。基于红外目标特征 提取的图像融合方法。XC,35(7):1141-1151
- 荣传振,贾永兴,杨宇,朱莹,王渊。增强融合图像视觉效果的图像融合方法。XC,35(3):327-333
- 苏本跃,储小玉,盛敏。同态滤波下 RGB D点云配准 方法。ZTu,24(11):1985 - 1997
- 王竞雪,何腕营。多重约束条件下的 LBD 描述子与直 线段匹配。ZTu,24(2):237 - 247
- 王丽芳,窦杰亮,秦品乐,蔺素珍,高媛,张程程。双重字典学习与自适应 PCNN 相结合的医学图像融合。ZTu, 24(9):1588-1603
- 王相海,白世夫,李智,宋若曦,陶兢喆。基于 PST 相位 约束和稀疏表示的 MS 和 PAN 影像融合算法。MR,32 (5):398-408
- 王晓华,方琪,王文杰。基于网格运动统计的改进快速 鲁棒特征图像匹配算法。MR,32(12):1133-1140
- 韦顺军, 唐欣欣, 张晓玲。基于 DFT 模型的大场景 In-SAR 图像配准。YX,23(5):859-870
- 吴亮,刘国英。非下采样 Shearlet 变换耦合边缘制约的 遥感图像融合算法。DC,33(1):99-105
- 吴文豪,张磊,李陶,龙四春,段梦,周志伟,祝传广,蒋廷臣。基于几何配准的多模式 SAR 影像配准及其误差分析。CX,48(11):1439-1451
- 徐思雨,祝继华,田智强,李垚辰,庞善民。逐步求精的 多视角点云配准方法。ZX,45(8):1486-1494
- 杨晓,黎琼炜,殷春,陈凯,邱根,薛婷,黄雪刚。应用于 压力容器红外无损检测的 SFIT 图像拼接方法。DC,33 (12):31-40
- 姚凯旋,曹飞龙。基于多输入密集连接神经网络的遥感 图像时空融合算法。MR,32(5):429-435
- 尹振鹤,朱辉生。基于二代 Curvelet 变换与近似度制约规则的遥感图像融合算法。DC,33(4):42-49

- 袁静,章毓晋。融合数据内部变化信息的丰度估计算法。YX,23(4):630-647
- 袁修,袁巍,许殊,纪艳华。航摄影像密集匹配的研究进 展与展望。CX,48(12):1542-1550
- 岳晨晨,侯志强,余旺盛,马素刚。结合颜色属性的分层 结构直方图。ZTu,24(7):1188-1196
- 张琮毅,魏子庄,徐昊文,陈毅松,汪国平。尺度可变的快速全局点云配准方法。JX,42(9):1939-1952
- 张峻宁,苏群星,刘鹏远,朱庆,张凯。一种自适应特征
 地图匹配的改进 VSLAM 算法。ZX,45(3):553-565
- 张立福,彭明媛,孙雪剑,岑奕,童庆禧。遥感数据融合研究进展与文献定量分析(1992—2018)。YX,23(4): 603-619
- 张莉,李彬,田联房,张鸣生,王雷,李祥霞,刘霜纯。基于 Log Euclidean 协方差矩阵描述符的医学图像配准。 JX,42(9):2087 - 2099
- 张倩,吕丽平。基于 ORB 与局部仿射一致性约束的快速人脸特征配准。DC,33(6):38-44
- 张顺利,徐艳芝,周明全,耿国华,张雨禾。基于自适应 邻域匹配的点云配准方法。JX,42(9):2114-2126
- 赵杰,徐晓莹,刘敬,杜宇航。变参数 active demons 算法 下的多通道弥散张量图像配准。ZTu,24(1):103-114
- 朱浩然,刘云清,张文颖。基于灰度变换与两尺度分解的夜视图像融合。DxX,41(3):640-648

C2: 场景恢复(14篇)

- 陈加,张玉麒,宋鹏,魏艳涛,王煜。深度学习在基于单幅图像的物体三维重建中的应用。ZX,45(4):657-668
- 黄超,赵华治。根据灰度值信息自适应窗口的半全局匹配。ZTu,24(8):1381-1390
- 黄军,王聪,刘越,毕天腾。单目深度估计技术进展综述。ZTu,24(12):2081-2097
- 李健,李丰,何斌,杜希瑞。单 Kinect + 回转台的全视角 三维重建。SC,34(2):205 - 213
- 李世林,李红军。自适应步长的 Alphashape 表面重建算法。SC,34(3):491-499
- 李政源,马昕,李贻斌。基于最优投影平面的立体视觉 空间圆位姿高精度测量方法。MR,32(1):58-66
- 唐袆玲,江顺亮,徐少平,刘婷云,李崇禧。基于眼优势的非对称失真立体图像质量评价。ZX,45(11):2092-2106
- 王伟,任国恒,陈立勇,张效尉。基于结构先验与协同优化的城市场景分段平面重建。ZX,45(11):2187-2198
- 姚拓中,左文辉,安鹏,宋加涛。融合语义先验和渐进式深度优化的宽基线3维场景重建。ZTu,24(4):603-614
- 于英,张永生,薛武,王涛。一种稳健性增强和精度提升的增量式运动恢复结构方法。CX,48(2):207-215
- 张一,姜挺,江刚武,余岸竹,于英。特征法视觉 SLAM

- 逆深度滤波的三维重建。CX,48(6):708-717
- 张远辉,段承杰,朱俊江,何雨辰。眼球光心标定与距离 修正的3维注视点估计。ZTu,24(8):1369-1380
- 仲伟波,姚旭洋,冯友兵,孙雨婷,姚徐。双目区域视差 快速计算及测距算法。ZTu,24(9):1537-1545
- 周武杰,潘婷,顾鹏笠,翟治年。基于金字塔池化网络的 道路场景深度估计方法。DxX,41(10):2509-2515

C3:图像感知和解释(8篇)

- 董天阳,杨丽锦,张鑫鹏。用户多维感知的 3D 图像体验质量评价。ZTu,24(5):782-793
- 孔研自,朱枫,郝颖明,吴清潇,鲁荣荣。主动目标几何 建模研究方法综述。ZTu,24(7):1017-1027
- 蓝玮毓,王晓旭,杨刚,李锡荣。标签增强的中文看图造句。JX,42(1):136-148
- 林金花,姚禹,王莹。基于深度图及分离池化技术的场景复原及语义分类网络。ZX,45(11):2178-2186
- 刘乃军,鲁涛,蔡莹皓,王硕。机器人操作技能学习方法 综述。ZX,45(3):458-470
- 王树亮,毕大平,阮怀林,杜明洋,潘继飞。基于信息熵准则的认知雷达机动目标跟踪算法。DX,47(6):1277-1284
- 许辰,骆挺,蒋刚毅,郁梅,姜求平,徐海勇。融合结构与 非结构信息的自然图像恰可察觉失真阈值估计。ZTu, 24(9):1546-1557
- 湛颖,高妍,谢凌云。中国国画情感—美感数据库。 ZTu,24(12):2267-2278

C4:基于内容的图像/视频检索(27篇)

- 陈诚,邹焕新,邵宁远,孙嘉赤,秦先祥。面向遥感影像的深度语义哈希检索。ZTu,24(4):655-664
- 丁维龙,辛卫涛,徐志福,吴福理,高楠。基于图像特征的植物形态相似度算法。ZTu,24(12):2255-2266
- 董震,裴明涛。基于异构哈希网络的跨模态人脸检索方法。JX,42(1):73-84
- 窦志成,秦绪博,文继荣。搜索结果多样化研究综述。 JX,42(12):2591-2613
- 葛芸,马琳,江顺亮,叶发茂。基于高层特征图组合及池 化的高分辨率遥感图像检索。DxX,41(10):2487
 -2494
- 朝胜红,贾玉福,桂超。面向足球视频摘要的叙事性拼图算法。XC,35(11):1895-1903
- 江泽涛,简雄,刘小艳,曾聪文。一种改进的二进制哈希 编码方法。DX,47(2);462-469
- 李牧闲,桂志鹏,成晓强,吴华意,秦昆。多核学习与用户反馈结合的 WMS 图层检索方法。CX,48(10):1320-1330
- 李宗民,刘秀秀,刘玉杰,李华。结合细粒度特征与深度 卷积网络的手绘图检索。ZTu,24(6):946-955

- 刘昊淼,王瑞平,山世光,陈熙霖。基于离散优化的哈希 编码学习方法。JX,42(5):1149-1160
- 刘颖,胡丹,范九伦,王富平,李大湘。基于融合特征的 现勘图像检索结果优化算法。DX,47(2):296-301
- 栾婷婷,祝继华,徐思雨,王佳星,时璇,李垚辰。哈夫曼 编码乘积量化的图像哈希检索方法。ZTu,24(3):389 -309
- 彭晏飞,宋晓男,武宏,訾玲玲。结合深度学习与相关反馈的遥感图像检索。ZTu,24(3);420-434
- 宋伟,任栋,于京,齐振国。一种新的基于三维卷积共生 梯度直方图和多示例学习的特殊视频检测算法。JX,42 (1):149-163
- 王美珍,刘学军,孙开新,王自然。最优视频子集与视频时空检索。JX,42(9):2004-2023
- 王祥宇,马建峰,苗银宾。高效隐私保护的多用户图像外包检索方案。TX,40(2):31-39
- 王序文,张宇,郭臻,李姣。医学图像语义概念识别方法研究。ZS,38(3):306-314
- 毋立芳,赵宽,简萌,王向东。级联手工特征与深度特征的视频关键帧检测方法。XC,35(11):1871-1879
- 谢娜,吴苏朋。采用图融合的多模态半协同训练视频分 类算法。DC,33(4):29-35
- 严双咏,刘长红,江爱文,叶继华,王明文。语义耦合相关的判别式跨模态哈希学习算法。JX,42(1):164-175
- 袁庆升,靳国庆,张冬明,包秀国。仿视网膜采样的二进制描述子。TX,40(1):15-23
- 原尉峰,郭佳明,苏卓,罗笑南,周凡。结合深度多标签解析的哈希服装检索。ZTu,24(2):159-169
- 甄俊杰,应自炉,赵毅鸿,黄尚安。深度学习和迭代量化在图像检索中的应用研究。XC,35(5):919-925
- 郑钰山,姜志国。组织病理图像检索及其癌症辅助诊断 方法概述。ZTi,24(4);287-297
- 周亭亭,曹卫群。反映人的认知习惯的商品检索方法。 ZTu,24(4):573-582
- 朱建清,林露馨,沈飞,曾焕强,蔡灿辉,郑力新。采用 SIFT 和 VLAD 特征编码的布匹检索算法。XC,35(10): 1725-1731
- 朱树明,王凤随,程海鹰。HEVC 压缩域的视频摘要关键帧提取方法。XC,35(3);481-489

C5:时空技术(29篇)

- 陈建宇,谢雪梅,李佳楠,石光明。基于时空注意力机制的行为识别方法。ZTi,24(4):325-333
- 陈莹,何丹丹。基于贝叶斯融合的时空流异常行为检测模型。DxX,41(5):1137-1144
- 丁文文,刘凯,唐风琴,傅绪加。线性动态系统反演模型 在人体行为识别的应用。ZTu,24(9):1450-1457
- 胡建芳,王熊辉,郑伟诗,赖剑煌。RGB-D 行为识别研究进展及展望。ZX,45(5);829-840
- 胡正平,刁鹏成,张瑞雪,李淑芳,赵梦瑶。基于注意力

机制的时间分组深度网络行为识别算法。MR,32(10): 892-900

- 胡正平,张乐,尹艳华。时空深度特征 AP 聚类的稀疏 表示视频异常检测算法。XC,35(3):386-395
- 会兰,卢飞,严源。跨层融合与多模型投票的动作识别。
 DxX,41(3):649-655
- 李定,马静,杨萌林,张文生。面向群体行为识别的非局部网络模型。ZTu,24(10):1728-1737
- 李启运,纪庆革,洪赛丁。FastFace:实时鲁棒的人脸检测算法。ZTu,24(10):1761-1771
- 刘秉瀚,李振达,柯逍。基于混合关节肢体模型的深度 人体姿态估计方法。MR,32(2):97-107
- 刘唐波,杨锐,王文伟,何楚。基于姿态估计的驾驶员手部动作检测研究。XC,35(12):2062-2069
- 刘婷婷,李玉鹏,张良。多视角深度运动图的人体行为 识别。ZTu,24(3):400-409
- 罗会兰, 童康, 孔繁胜。基于深度学习的视频中人体动作识别进展综述。DX, 47(5):1162-1173
- 罗会兰,童康。时空压缩激励残差乘法网络的视频动作识别。TX,40(10):189-198
- 罗会兰,王婵娟。行为识别中一种基于融合特征的改进 VLAD编码方法。DX,47(1):49-58
- 马钰锡,谭励,董旭,于重重。面向智能监控的行为识别。ZTu,24(2):282-290
- 钱银中,沈一帆。姿态特征与深度特征在图像动作识别中的混合应用。ZX,45(3);626-636
- 桑海峰,陈紫珍。基于双向门控循环单元的 3D 人体运动预测。DxX,41(9):2256 2263
- 谭鹤毅。摄像机网络中的一种多目标分布式跟踪策略。 DC,33(5);88-94
- 唐超,王文剑,王晓峰,张琛,邹乐。基于多视图半监督 学习的人体行为识别。MR,32(4):376-384
- 唐超,王文剑,张琛,彭华,李伟。基于 RGB D 图像特征的人体行为识别。MR,32(10):901 908
- 王传旭,龚玉婷。基于注意力机制的群组行为识别方法。SC,34(3):406-413
- 王传旭,姜成恒。基于 ActionVLAD 池化与分层深度学习网络的组群行为识别方法。SC,34(4):585-593
- 王永雄,李璇,李梁华。动态多视角复杂 3D 人体行为数据库及行为识别。SC,34(1):68-79
- 吴培良,杨霄,毛秉毅,孔令富,侯增广。一种视角无关的时空关联深度视频行为识别方法。DxX,41(4):904
- 夏嘉欣,陈曦,林金星,李伟鹏,吴奇。基于带有噪声输入的稀疏高斯过程的人体姿态估计。ZX,45(4):693
- 杨兴明,范楼苗。基于区域特征融合网络的群组行为识别。MR,32(12):1116-1121
- 杨兴明,周亚辉,张顺然,吴克伟,孙永宣。跨阶段结构下的人体姿态估计。ZTu,24(10);1692-1702

• 郑兴华,孙喜庆,吕嘉欣,鲜征征,李磊。基于深度学习和智能规划的行为识别。DX,47(8):1661-1668

D:技术应用(共183篇)

D1: 硬件、系统和快速算法(8篇)

- 陈暾,李志豪,贾海鹏,张云泉。基于 ARMv8 平台的多维 FFT 实现与优化研究。JX,42(11):2384-2402
- 方雷,姚申君,包航成,康俊峰,刘婷。遥感影像并行处理的数据划分及其路径优化算法。CX,48(5):572-582
- 林锋,谭迎,周鹏,罗静静。中医面诊系统调研报告。
 ZTi,24(3):225-240
- 刘项洋,许勇,郑孝遥,陈付龙。矢量基二维 DCT 修剪在 DSP 上的内存存取减少方法。DX,47(3):757-763
- 马峻,毛露露,陈宏,陈寿宏,郭玲,徐翠锋。数字干涉图 实时相位提取 PSM - IP 核的 FPGA 实现。DC,33(12): 71-79
- 石磊,朱洪海,于雨,崔晓,惠力,初士博,杨立,杨书凯, 周扬。基于双目立体视觉的波浪参数遥测方法研究。 DC,33(3):99-104
- 王莉,曹一凡,杜高明,刘冠宇,王晓蕾,张多利。一种低延迟的3维高效视频编码中深度建模模式编码器。
 DxX,41(7):1625-1632
- 吴艳霞,梁楷,刘颖,崔慧敏。深度学习 FPGA 加速器的 进展与趋势。JX,42(11):2461-2480
- 赵忠明,高连如,陈东,岳安志,陈静波,刘东升,杨健,孟瑜。卫星遥感及图像处理平台发展。ZTu,24(12):2098-2110

D2:通信、视频传输播放(5 篇)

- 刘航帆,熊瑞勤,赵菁,李宏明,马思伟,高文。基于图像 梯度的无线软传输。JX,42(9):1905-1917
- 沈璇,孙兵,刘国强,李超。数字视频广播通用加扰算法的不可能差分分析。DxX,41(1):46-52
- 史志明,黄诚惕。采用模糊控制的网络视频质量评估方法。XC,35(1):115-124
- 王磊,林煌达,康彬,崔景伍,郑宝玉。时延约束下采用 SVC 编码的 D2D 协作视频多播传输方案。XC,35(3): 369-377
- 周洋,吴佳忆,陆宇,殷海兵。面向三维高效视频编码的 深度图错误隐藏。DxX,41(11):2760 - 2767

D3:文档、文本(5 篇)

- 姜维,张重生,殷绪成。基于深度学习的场景文字检测 综述。DX,47(5):1152-1161
- 李翌昕,邹亚君,马尽文。基于特征提取与机器学习的文档区块图像分类算法。XC,35(5);747-757
- 牛小明,毕可骏,唐军。图文识别技术综述。ZTi,24
 (3):241-256

XV

- 谢海闻,叶东毅,陈昭炯。基于 CapsNet 的汉字字形表 征模型。MR,32(2):167-176
- 杨晨旭,张红云,苗夺谦。基于主曲线的书法字动态重 现算法。MR,32(9):835-843

D4: 生物、医学(36 篇)

- 陈建辉,赵蕾,李德玉,万涛。基于冠脉造影图像血管树分割的血管狭窄自动识别方法。ZS,38(3):266-272
- 陈书立,焦兴洋,王治忠,王松伟。基于鸽局部场电位信号的数字字符图像重建研究。ZS,38(4):417-423
- 陈兴,丁亚军,钱盛友,郭燕。基于超声图像的生物组织 损伤判定方法研究。DC,33(1):171-176
- 崔曦雯,陈芳,韩博轩,马聪,马龙飞,廖洪恩。虚拟内窥 镜图像增强膝关节镜手术导航系统。ZS,38(5):558
- 范虹,张程程,侯存存,朱艳春,姚若侠。结合双树复小波变换和改进密度峰值快速搜索聚类的乳腺 MR 图像分割。DX,47(10);2149-2157
- 范姗慧,刘士臣,曹鹗,范一宏,魏凯华,厉力华。无线胶囊内窥镜图像小肠息肉的自动识别。ZS,38(5):522-532
- 龚军辉,刘小燕,周建松,孙刚。基于时空双稀疏表示的成人 ADHD 脑网络检测与分析。ZX,45(10):1903-1914
- 郭潇月,邢宇翔,张丽,谢晓艳,张康平。口腔 CBCT 的 图像质量主观评价到客观评价的映射。ZTi,24(4):371 379
- 韩文忠,康莉,江静婉,黄建军。深度全卷积网络对 MRI 膀胱图像的分割。XC,35(3):443-450
- 江南。基于动态自适应相关滤波的复杂场景目标跟踪 算法。DC,33(2):140-147
- 赖小波,许茂盛,徐小娟。多分类 CNN 的胶质母细胞瘤
 多模态 MR 图像分割。DX,47(8):1738-1747
- 赖小波,许茂盛,徐小娟。基于多模型融合和区域迭代 生长的视网膜血管自动分割。DX,47(12):2611-2621
- 李新征,金炜,李纲,尹曹谦。非对称卷积核 YOLOV2 网络的 CT 影像肺结节检测。ZS,38(4):401-408
- 林泽慧,雷柏英,姜峰,倪东,陈思平,李胜利,汪天富。 基于更快速的区域卷积神经网络的胎儿头围超声图像 质量控制。ZS,38(4):392-400
- 刘通,徐久强,朱宏博,孟昭岩,窦圣昶。肺结节球表面 网格向量化特征分类。ZTu,24(1):124-134
- 龙邦媛,李康,吕发金,吕宗伟。基于改进导向滤波算法 的低剂量 CT 图像处理。DX,47(7):1490-1496
- 龙胜春,陈嘉莉,黄肖肖,陈芝清。基于生成对抗网络的彩色眼底图像硬性渗出检测方法。ZS,38(2):157-165
- 罗杰,李阳。基于三维卷积神经网络的大脑 fMRI 信号 识别方法。ZTi,24(3):191-198
- 孙晓梦,万遂人。基于机器学习方法的前列腺癌 DWI 多参数分析及其应用。ZS,38(4):508-512

- 田娟秀,刘国才,谷珊珊,顾冬冬,龚军辉。基于 3D 深度残差全卷积网络的头颈 CT 放疗危及器官自动勾画。 ZS,38(3):257-265
- 王超,刘侠,董迪,臧丽亚,刘再毅,梁长虹,田捷。基于 影像组学的非小细胞肺癌淋巴结转移预测。ZX,45
 (6):1087-1093
- 王娟,刘嘉润,李瑞瑞。基于深度学习的红外相机视力 检测算法。DC,33(11):36-43
- 王志强,姚旭峰,黄钢。基于 PET 成像的阿尔茨海默病研究进展。ZS,38(2):216-221
- 吴君,申太鹏,江骁,陈世容,张威,陆皓,程祝忠。基于 RGB向量空间图像分割技术在病理定量分析中的应 用。ZTi,24(4):389-397
- 吴琼,陈元园,赵欣,明东。基于 MRI 的认知相关的脑宏观-微观结构变化模式研究综述。ZS,38(1):94-101
- 徐光柱, 胡松, 陈莎, 陈鹏, 周军, 雷帮军。U net 与 Dense net 相结合的视网膜血管提取。ZTu, 24(9): 1569-1580
- 易鑫,罗小刚,钱烨,霍丹群,侯长军。纸基纳米金阵列 图像特征值自动提取方法。ZS,38(2):184-191
- 于贺,余南南。基于多尺寸卷积与残差单元的快速收敛 GAN 胸部 X 射线图像数据增强。XC,35(12):2045-2054
- 袁琼雯,余磊,刘岩。LCI 图像病变检测的全卷积网络 算法研究。XC,35(3):451-459
- 袁绍锋,杨丰,徐琳,吴洋洋,黄靖,刘娅琴。有条件生成 对抗网络的 IVUS 图像内膜与中 - 外膜边界检测。ZS, 38(2):146-155
- 张学红,王光磊,王洪瑞,王霞,李艳。基于中智学理论的冠脉 OCT 图像的钙化斑块分割。DC,33(10):112-117
- 章浩伟,任筱倩,刘颖,娄云重。基于深度学习的前列腺 癌判别算法研究。ZS,38(4):503-507
- 章黎明,贾智伟,谢俊力,陈立福。近四年胶囊内镜图像 病灶的深度学习识别研究进展。DC,33(8):69-77
- 赵爽,魏国辉,马志庆,赵文华。基于定量影像组学的乳腺肿瘤良恶性诊断。ZS,38(5):549-557
- 周沛,陈后金,于泽宽,彭亚辉,李艳凤,杨帆。跨模态医学图像预测综述。DX,47(1):220-226
- 周双,杨学志,金兢,方帅,刘雪南。采用自适应信号恢复算法的非接触式心率检测。ZTu,24(10):1670-1682

D5:遥感、雷达、测绘(83 篇)

- 安捷,马尽文。基于全卷积网络的遥感图像自动云检测。XC,35(4):556-562
- 曹宁,周平,王霞,唐新明,李国元。激光测高数据辅助卫星成像几何模型精化处理。YX,23(2):291-302
- 陈宏。结合多视角 多特征的 SAR 图像目标识别方法。DC,33(9):87 92

- 陈惠红,刘世明。基于多重集典型相关的深度特征融合及 SAR 目标识别方法。DC,33(9):57-63
- 陈岭。基于随机加权的 SAR 图像多特征联合目标分类。DC,33(5):187-192
- 陈荣元,徐雪松,申立智,刘跃华,陈浪。模糊区域级 MRF方法在城镇自动识别中的应用。DX,47(2):489 -494
- 陈曦东,张肖,刘良云,汪晓帆。增强型多时相云检测。
 YX,23(2):280-290
- 陈允杰,马辰阳,孙乐,詹天明。基于边缘修正的高光谱 图像超像素空谱核分类方法。DX,47(1):73-81
- 陈震霆,孙晓兵,汪俊锋,李树,黄红莲,陈卫,乔延利。 近红外偏振辐射卫星数据的海洋耀光动态检测。YX, 23(2);215-229
- 崔宾阁,吴亚男,钟勇,钟利伟,路燕。高光谱图像滚动引导递归滤波与地物分类。YX,23(3):431-442
- 崔璐,杜华强,周国模,李雪建,毛方杰,徐小军,范渭亮,李阳光,朱迪恩,刘腾艳,邢璐琪。决策树结合混合像元分解的中国竹林遥感信息提取。YX,23(1):166-176
- 崔卫红,熊宝玉,张丽瑶。多尺度全卷积神经网络建筑物提取。CX,48(5):597-608
- 邓晨,游雄,张威巍,智梅霞。基于2D 地图的城市户外 ARGIS 视觉辅助地理配准技术。CX,48(10):1305 -1319
- 邸凯昌,刘斌,辛鑫,岳宗玉,叶乐佳。月球轨道器影像 摄影测量制图进展及应用。CX,48(12):1562-1574
- 邸凯昌,刘召芹,刘斌,万文辉,彭嫚,王晔昕,芍盛,岳宗玉,辛鑫,贾萌娜,牛胜利。多源数据的嫦娥四号着陆点定位。YX,23(1):181-184
- 董胜光,秦建新,郭云开。基于广义立体像对的高分辨率遥感影像阴影检测。DC,33(3):105-111
- 董新宇,李家国,陈瀚阅,赵磊,张黎明,邢世和。无人机 遥感影像林地单株立木信息提取。YX,23(6):1269
 -1280
- 杜建丽,陈动,张振鑫,张立强。建筑点云几何模型重建 方法研究进展。YX,23(3):374-391
- 范荣双,陈洋,徐启恒,王竞雪。基于深度学习的高分辨率遥感影像建筑物提取方法。CX,48(1):34-41
- 方帅,祝凤娟,董张玉,张晶。样本优化选择的高光谱图像分类。ZTu,24(1):135-148
- 冯冬艳,王海晖。相关性约束下 SAR 图像动态重构的目标识别方法。DC,33(9):100-106
- 冯秋晨,彭冬亮,谷雨。SAR 变体目标识别的卷积神经 网络法。ZTu,24(2):258-268
- 高泽宾,屈永华。自然光照条件下植被几何光学四分量的提取算法。ZTu,24(10):1790-1800
- 谷鑫志,曾庆伟,谌华,陈尔学,赵磊,于飞,涂宽。高分三号影像水体信息提取。YX,23(3):555-566
- 韩萍,宋厅华。区域筛选与多级特征判别相结合的 Pol-SAR 图像飞机目标检测。ZTu,24(7):1197-1206

- 韩萍,孙丹丹。特征选择与深度学习相结合的极化 SAR 图像分类。XC,35(6):972-978
- 何海清,陈敏,陈婷,李大军,陈晓勇。低空影像 SfM 三 维重建的耦合单-多旋转平均迭代优化法。CX,48 (6):688-697
- 贺浩,王仕成,杨东方,王舒洋,刘星。基于 Encoder Decoder 网络的遥感影像道路提取方法。CX,48(3): 330-338
- 贺婷婷,谭维贤,黄平平,徐伟,胡楚锋。一种结合散射相似性和 Wishart 的极化 SAR 图像分类方法。XC,35
 (5):904-910
- 胡炎,单子力,高峰。一种面向多星多分辨率的 SAR 图 像舰船候选区域提取方法。DxX,41(4):770 778
- 宦若虹,陶一凡,陈月,杨鹏,鲍晟霖。基于小波变换空间变迹的 SAR 图像旁瓣抑制方法。SC,34(3):558-565
- 黄冬梅,刘佳佳,苏诚,杜艳玲。多特征融合的复杂环境海洋涡旋识别。ZTu,24(1):31-38
- 黄鸿,陈美利,王丽华,李政英。空-谱协同正则化稀疏 超图嵌入的高光谱图像分类。CX,48(6):676-687
- 黄鸿,石光耀,段字乐,张丽梅。加权空-谱联合保持嵌入的高光谱遥感影像降维方法。CX,48(8):1014-1024
- 黄云,唐林波,李震,龙腾。采用深度学习的遥感图像花 生种植区域分类技术研究。XC,35(4):617-622
- 李斌,魏俊博,马博超,王璐,徐明霞。不规则体体积计算三维激光点云切片法。CX,48(1):42-52
- 李冠东,张春菊,高飞,张雪英。双卷积池化结构的3D-CNN高光谱遥感影像分类方法。ZTu,24(4):639-654
- 李红艳,李春庚,安居白,任俊丽。注意力机制改进卷积神经网络的遥感图像目标检测。ZTu,24(8):1400-1408
- 李佳琦,李家国,朱利,申茜,戴华阳,朱云芳。太原市黑 臭水体遥感识别与地面验证。YX,23(4):773-784
- 李健伟,曲长文,彭书娟,江源。基于生成对抗网络和线上难例挖掘的 SAR 图像舰船目标检测。DxX,41(1): 143-149
- 李鹏,马味敏。融合特征点与环状域检测的水下声呐目标匹配。DC,33(11):120-127
- 李玉,甄畅,石雪,赵泉华。基于熵加权 K means 全局信息聚类的高光谱图像分类。ZTu,24(4):630 638
- 林昱坤,王楠,张立福,岑奕,孙雪剑,卢涵宇,童庆禧。 独立成分分析的高光谱异常变化检测。YX,23(6): 1167-1176
- 刘冰, 余旭初, 张鹏强, 谭熊。联合空 谱信息的高光谱 影像深度三维卷积网络分类。CX, 48(1):53-63
- 刘万军,尹岫,曲海成,刘腊梅。提高小样本高光谱图像 分类性能的变维卷积神经网络。ZTu,24(9):1604 -1618

XVI

- 刘燕,石磊。基于 GOF 的 SAR 海冰图像无监督自动分类算法。DC,33(5):16-23
- 刘阳。基于属性散射中心多层次匹配的 SAR 目标识别 方法。DC,33(11):192-198
- 刘照欣,赵辽英,厉小润,陈淑涵。高光谱亚像元定位的 线特征探测法。CX,48(11):1464-1474
- 卢晓光,蔺泽山,韩萍,邹璨。自适应无监督分类的 Pol-SAR 图像机场跑道区域快速检测。YX,23(6):1186-1193
- 卢晓光,周波,韩萍,韩宾宾。多特征分类的 PolSAR 图像飞机目标检测方法。XC,35(4):563-573
- 孟令博,耿修瑞。基于协峭度张量的高光谱图像异常检测。DxX,41(1):150-155
- 孟令奎,毛旭东,魏祖帅,张文。结合先验概率估计的 GF-3 影像水体概率估计方法。CX,48(4):439-447
- 聂祥丽,黄夏渊,张波,乔红。极化合成孔径雷达图像相 干斑抑制和分类方法综述。ZX,45(8):1419-1438
- 秦斐,梁兴东,张福博,陈龙永,乔明,李焱磊,万阳良。 基于机器学习的阵列层析 SAR 建筑物目标提取方法。 XC,35(2):176-186
- 邱云飞,王星苹,王春艳,孟令国。应用级联多分类器的 高光谱图像分类。ZTu,24(11):2021 - 2034
- 邵旭慧,裴继红,赵阳。基于边界先验双模型贝叶斯决策的红外图像海天线检测。XC,35(5):877-887
- 沈建军,陶青川,肖卓。结合改进 Deeplab v3 + 网络的水岸线检测算法。ZTu,24(12);2174 2182
- 孙钰珊,张力,许彪,张勇。资源三号卫星影像无控制区域网平差。YX,23(2):205-214
- 谭琨,王雪,杜培军。结合深度学习和半监督学习的遥感影像分类进展。ZTu,24(11):1823-1841
- 唐玮,赵保军,龙腾。基于轻量化网络的光学遥感图像飞机目标检测。XC,35(5):768-774
- 涂宽,文强,谌华,于飞,谷鑫志。GF-3全极化影像在 地表浅覆盖区进行地质构造解译的新方法。YX,23 (2):243-251
- 王华斌,韩旻,王光辉,李玉。遥感影像要素提取的可变 结构卷积神经网络方法。CX,48(5):583-596
- 王密,杨芳。智能遥感卫星与遥感影像实时服务。CX, 48(12):1586-1594
- 王彦平,王官云,李洋,林赟,洪文。多角度极化 SAR 图像散射特征建模及其应用。XC,35(3):386-395
- 王彦平,张艺博,李洋,林赟。基于 2DPCA SCN 正则 化的 SAR 图像目标识别方法。XC,35(5):802 - 808
- 王云艳,罗冷坤,周志刚。改进型 DeepLab 的极化 SAR 果园分类。ZTu,24(11);2035 2044
- 魏东升,周晓光。遥感影像变化检测样本自动抽样。 YX,23(3):464-475
- 徐乔,张霄,余绍淮,陈启浩,刘修国。综合多特征的极 化 SAR 图像随机森林分类算法。YX,23(4):685-694
- 姚月,申茜,朱利,高红杰,曹红业,韩惠,孙建国,李俊

- 生。高分二号的沈阳市黑臭水体遥感识别。YX,23 (2):230-242
- 叶利华,王磊,张文文,李永刚,王赠凯。高分辨率光学 遥感场景分类的深度度量学习方法。CX,48(6):698 -707
- 游永发,王思远,王斌,马元旭,申明,刘卫华,肖琳。高分辨率遥感影像建筑物分级提取。YX,23(1):125-136
- 余岸竹,刘冰,邢志鹏,杨帆,杨其淼。面向高光谱影像 分类的显著性特征提取方法。CX,48(8):985-995
- 袁博。基于混合像元空间与谱间相关性模型的 NMF 线性盲解混。CX,48(9):1151 1160
- 张辉,刘万军,吕欢欢。小波核局部 Fisher 判别分析的 高光谱遥感影像特征提取。MR,32(7):624-632
- 张嘉峰,杨子渊,张鹏,刘涛。Fisher 纹理分布下基于匹 配滤波的极化 SAR 图像 CFAR 检测方法。DX,47(12): 2535-2543
- 张嘉峰,张鹏,王明春,刘涛。G₀分布下基于白化滤波的极化 SAR 图像 CFAR 检测。YX,23(3):443-455
- 张嘉峰,张鹏,王明春,刘涛。K分布下极化 SAR 图像 CFAR 检测新方法。DX,47(4):896-906
- 张旭,郝向阳,李建胜,李朋月。监控视频中动态目标与 地理空间信息的融合与可视化方法。CX,48(11):1415 -1423
- 张喆,万义爽,韩萍,程争。基于差异度迭代的极化 SAR 图像机场跑道检测算法。XC,35(6):1041-1050
- 赵超英,王宝行。SAR干涉图降噪的稳健协方差矩阵分解法。CX,48(1):24-33
- 起泉华,谢凯浪,王光辉,李玉。结合编码-解码网络和条件随机场的全极化合成孔径雷达土地覆盖分类。
 MR,32(12):1122-1132
- 赵生银,安如,朱美如。联合像元 深度 对象特征的 遥感图像城市变化检测。CX,48(11):1452 - 1463
- 赵诣,蒋弥。极化 SAR 参数优化与光学波谱相结合的 面向对象土地覆盖分类。CX,48(5):609-617

D6:其他(45 篇)

- 包志强,赵志超,吕少卿,黄琼丹。核卷积神经网络研究与应用。XC,35(12):2055-2061
- 蔡友发,傅星,李飞。数字图像相关方法的桥梁挠度仪的温度补偿。DC,33(7):88-92
- 曾伟辉,李淼,李增,熊焰。基于高阶残差和参数共享反馈卷积神经网络的农作物病害识别。DX,47(9):1979-1986
- 陈宸,叶波,邓为权,包俊,曾辉耀。基于 SLIC 超像素算 法和密度聚类的 TA2 钛板表面缺陷定量化评估研究。 DC,33(11):128-135
- 成超鹏,张莹,牟清萍,张东波,薛亮。基于改进型抓取 质量判断网络的机器人抓取研究。DC,33(5):80-87
- 杜传业,刘波。基于图像识别的分光器端口分析方法。
 SC,34(1):183-188

- 杜大军,占国华,李汪佩,费敏锐,周文举。带时变计算时间和计算误差的倒立摆视觉 H_x 控制研究。ZX,45
 (2):334-348
- 高天寒,杨子艺。图像序列的增量式运动结构恢复。 ZTu,24(11):1952-1961
- 关明宇,黄茜,胡志辉,罗超群。基于图像处理的轮辐角 度测量。SC,34(1):189-194
- 胡随芯,张密科,李叶萌,詹军,佘勇。基于手眼系统的 切边模堆焊修复轨迹生成方法。DC,33(10):22-28
- 金侠挺,王耀南,张辉,刘理,钟杭,贺振东。基于贝叶斯 CNN 和注意力网络的钢轨表面缺陷检测系统。ZX,45 (12);2312-2327
- 李洪均,周泽。分层式宽度模型的实时车型识别算法。 SC,34(1):80-90
- 李良福,马卫飞,李丽,陆铖。基于深度学习的桥梁裂缝 检测算法研究。ZX,45(9):1727-1742
- 李艺强,叶俊勇,罗晋。基于级联卷积网络的紧固件异常检测。DC,33(5):171-179
- 李迎,张大朋,刘希龙,徐德。基于单目显微视觉的微球姿态测量方法。ZX,45(7):1281-1289
- 刘蝉,张少川,钱兆鹏,牛海军。普通话发音过程中的舌
 3 维运动控制模型。ZTu,24(11):1942-1951
- 刘明堂,王丽,张来胜,秦泽宁,刘佳琪,陈健。高填方渠 道坡面破损的多尺度特征提取。ZTu,24(9):1504 -1513
- 刘雅璇,潘万彬。基于自我训练的长效垃圾分类方法。
 ZTu,24(5):773-781
- 罗胜,张翔,胡杰,王慕抽,张笑钦。时间压缩轨迹特征 识别的火灾烟雾检测。ZTu,24(10):1648-1657
- 罗毅,杨昆,商春雪,王伟强。基于多摄像头的汽车保险 丝盒检测与装配方法。DC,33(8):30-39
- 马烜,邹金慧。铁质部件内部缺陷的脉冲涡流红外热成像检测。DC,33(7):137-144
- 潘光勇,张敏霞,鲍熠朗,张杭滨。工业 CT 在电磁线圈 缺陷检测中的应用。CT,28(2):205-212
- 沈晔湖,蒋全胜,汪帮富,朱其新。多尺度并行坐标插值 实时图像克隆算法。SC,34(1):135-145
- 孙溢膺,董明利,乔玉军。基于摄影测量的大型风机叶片运行模态分析。DC,33(10):165-172
- 王卉,徐小力,左云波,吴国新。基于多特征融合的 HL-S 工件识别算法。DC,33(12):94-99
- 王建华,周玉国,杨延西。基于相位误差自校正的高速 三维测量技术?。DC,33(12):116-125
- 王宪伦,陈壮,崔玉霞。结构光非接触式 TCF 标定方法 研究。DC,33(1):135-140
- 王永利,曹江涛,姬晓飞。基于卷积神经网络的 PCB 缺陷检测与识别算法。DC,33(8):78-84
- 王震洲,李鑫圆。基于 BP 神经网络的 PH 试纸自动检测系统。DC,33(10):181-186

- 魏利胜,丁坤,段志达,吴红英。融合单应性约束 SIFT 特征匹配的轴承滚子检测。DC,33(9):107-113
- 魏利胜,丁坤,段志达。基于高斯加权均值分割的轴承工件检测和定位研究。DC,33(10):118-127
- 魏琦,张少峰,吴常铖,杨德华,Lorenzo Zago。基于最大 长度序列的二维绝对位置检测方法的误差分析。DC, 33(10):82-88
- 吴高昌,刘强,柴天佑,秦泗钊。基于时序图像深度学习的电熔镁炉异常工况诊断。ZX,45(8):1475-1485
- 夏雪,袁非牛,章琳,杨龙箴,史劲亭。从传统到深度:视 觉烟雾识别、检测与分割。ZTu,24(10):1627-1647
- 肖艳军,齐浩,周围,彭凯,孟召宗,张雪辉。锂电池极片 轧机轧辊表面缺陷检测与识别。DC,33(10):148-156
- 徐刚,岳继光,董延超,娄启佳,熊文成,聂忆黄。深度卷积网络卫星图像水泥厂目标检测。ZTu,24(4):550-561
- 闫文娟,王水璋。无人机倾斜摄影航测技术与 BIM 结合在智慧工地系统中的应用。DC,33(10):59-65
- 颜小飞,王锐,李予青,李文文。井间弹性波 CT 中初至 波自动提取转换及后处理优化应用。CT,28(5):559
- 杨龙箴,袁非牛,杨寿渊,雷帮军,张相芬。连续图卷积 视频烟雾检测模型。ZTu,24(10):1658-1669
- 易晓东,杨思宁,杨绍武。实时更新的全局一致三维栅格建图。MR,32(1):43-50
- 殷鹏,景军锋。应用深度迁移学习的电子级玻璃纤维布分类。DC,33(3):112-119
- 袁腾飞,吴思进,李伟仙,杨连祥。数字散斑干涉面内变形内窥测量方法研究。DC,33(7):93-98
- 张思祥,胡雪迎,竭霞,李思鸣,王哲,赵子豪,周围。单体热电池装配缺陷的图像检测方法研究。DC,33(2): 132-139
- 周鑫,何晓新,郑昌文。基于图像深度学习的无线电信号识别。TX,40(7):114-125
- 朱寒,林丽,陈德全,陈健。基于多方向改进 Sobel 算子的 PCB 图像定位校正方法。DC,33(9):121-128

E:综述评论(共5篇)

E1: 跨大类综述(5 篇)

- 郭华东,张露。雷达遥感六十年:四个阶段的发展。 YX,23(6):1023-1035
- 吴军,刘祺昌,黄明益。城市视频实景地图构建初探。
 ZTu,24(9):1409-1415
- 袁非牛,章琳,史劲亭,夏雪,李钢。自编码神经网络理 论及应用综述。JX,42(1):203-230
- 张顺,龚怡宏,王进军。深度卷积神经网络的发展及其 在计算机视觉领域的应用。JX,42(3):453-482
- 章毓晋。中国图像工程:2018。ZTu,24(5):665-676